

VYSOKÁ ŠKOLA STROJNÍ A TEXTILNÍ V LIBERCI, POSITELKA JAKU PRÁCE  
Fakulta strojní  
číslo 22-24-8  
výrobní stroje s zařízení  
zadávání  
ekipořské a koreničké stroje

---

M E L I O N Y K R Y Z O S T A I

Liber Složek  
DP - 349/80

Vedenec práce: Ing. Vladimír Klimeš, CSc., VŠST Liberec  
konzultant: Ing. Stanislav Šurž, Ferox, n. p., Plzeň

POČET STRAN

Počet stran: ..... 69  
Počet příloh a tabulek: .... 6  
Počet obrázků: ..... 10  
Počet výkresů: ..... 2

MOT 600 . 3<sup>3</sup> . 601 . 700 . 10

Datum: 23. května 1980

KSK SK

Vysoká škola: strojní a textilní

Katedra: sklář. a keram. strojů

Fakulta: strojní

Školní rok: 1979/80

## DIPLOMOVÝ ÚKOL

pro Libora Slezáka

obor 23-34-8 Výrobní stroje a zařízení

Zaměření sklářské a keramické stroje

Protože jste splnil..... požadavky učebního plánu, zadává Vám vedoucí katedry ve smyslu směrnic ministerstva školství a kultury o státních závěrečných zkouškách tento diplomový úkol:

Název tématu: Heliový kryostat

Pokyny pro vypracování:

**Vypracujte návrh kryostatu supravodivého magnetu použitelný pro magnetický separátor linky na úpravu kaolinu. Průměr pracovního prostoru kryostatu je 1000 mm.**

**V práci se zaměřte na:**

1. Rešerši současného stavu
2. Tepelný a pevnostní výpočet
3. Výkres sestavy zařízení.

Autorské právo se řídí smlouvou  
MŠK pro studenty, dne 11. 1. 1981  
727/1981/2 na dle čl. 11. 1. 1980  
1982-Vestník MŠK v Praze, sčíslo 24 ze  
dne 31. 3. 1982 § 10 aut. z. č. 115/1980.

**VYSOKÁ ŠKOLA STROJNÍ A TEXTILNÍ**  
Ústřední knihovna  
LIT. C 1, STUDENTSKÁ  
SČ. 461 17

Mistrovského praktikují, že jsou tu u diplomatických vý-  
pravování až o možnosti využít literatury a řídit se případně  
svých konzultantů.

v Libereci 23. května 1960



Libor Slánský

Rozsah grafických laboratorních prací: cca 40 stran textu doložených příslušnými výpočty a výkresovou dokumentací

Rozsah průvodní zprávy:

Seznam odborné literatury: Sborník ref. ze semináře "Využití supravodivosti v magnetické separaci"

Firgemní literatura.

Vedoucí diplomové práce: Ing. Vladimír Klebsa, CSc

Konsultanti: Ing. Stanislav Smrž, Ferox Děčín

Datum zahájení diplomové práce: 8. 10. 1979

Datum odevzdání diplomové práce: 23. 5. 1980



Ing. Jaroslav Beldá, CSc

Vedoucí katedry

Doc. RNDr. B. Stříž, CSc

Děkan

## CONTENTS

### THEORETICAL PART

#### ZADANÍ DIFERENCIÁLNEJ MATEMATIKY

#### MATRICKOVÝ METODA RIEŠENIA SISTEMOV

#### ODEBNÉ

#### SISTEMOVÝ ANALÝZA ZDARMA A SISTEMA

1. Číslo	1
2. Význam matematického systému	12
2.1 Matematické významy a významy gradiaciu pole a významy využitia súpravovnosťi v rôzne oblasti	12
2.2 Využitie matematických významov pri riešení systémov	20
2.3 Súpravovné významy pre význam	25
2.4 Topológiu a členenie polomerného významu systémov a súpravových významov	27
3. Matematické	30
3.1 Polomerné významy kryštálov	32
3.1.1 Význam plášťa	32
3.1.2 Význam vln	32
3.2 Topológiu významov kryštálov	43
3.2.1 Topológiu významov kryštálov vlny	43
3.2.2 Topológiu významov členenia vlny	50
3.3 Neplánované významy	55
3.3.1 Význam členenia vlny na dvojice	55
3.3.2 Význam členenia vlny	58
3.3.3 Význam súčtu vlny	60

**3.4 Závěr vývoje nového prototypu výroby**

**3.5 Technický popis nového typu výroby**

**3.6 Zohlednění k výrobě**

#### **4. ZÁVĚR**

#### **5. POUŽITÁ LITERATURA**

#### **6. SEZNAM OBLÍK.**

	<u>Symbol</u>	<u>Description</u>	<u>Unit</u>
A.	$\rho_{\text{air}}$	density of air	(kg/m <sup>3</sup> )
B.	$\rho_{\text{water}}$	density of water	(kg/m <sup>3</sup> )
C.	$\rho_{\text{air}}$	density of air	(kg/m <sup>3</sup> )
D.	$\rho_{\text{water}}$	density of water	(kg/m <sup>3</sup> )
E.	$\rho_{\text{air}}$	density of air	(kg/m <sup>3</sup> )
F.	$\rho_{\text{water}}$	density of water	(kg/m <sup>3</sup> )
G.	$\rho_{\text{air}}$	density of air	(kg/m <sup>3</sup> )
H.	$\rho_{\text{water}}$	density of water	(kg/m <sup>3</sup> )
I.	$\rho_{\text{air}}$	density of air	(kg/m <sup>3</sup> )
J.	$\rho_{\text{water}}$	density of water	(kg/m <sup>3</sup> )
K.	$\rho_{\text{air}}$	density of air	(kg/m <sup>3</sup> )
L.	$\rho_{\text{water}}$	density of water	(kg/m <sup>3</sup> )
M.	$\rho_{\text{air}}$	density of air	(kg/m <sup>3</sup> )
N.	$\rho_{\text{water}}$	density of water	(kg/m <sup>3</sup> )
O.	$\rho_{\text{air}}$	density of air	(kg/m <sup>3</sup> )
P.	$\rho_{\text{water}}$	density of water	(kg/m <sup>3</sup> )
Q.	$\rho_{\text{air}}$	density of air	(kg/m <sup>3</sup> )
R.	$\rho_{\text{water}}$	density of water	(kg/m <sup>3</sup> )
S.	$\rho_{\text{air}}$	density of air	(kg/m <sup>3</sup> )
T.	$\rho_{\text{water}}$	density of water	(kg/m <sup>3</sup> )
U.	$\rho_{\text{air}}$	density of air	(kg/m <sup>3</sup> )
V.	$\rho_{\text{water}}$	density of water	(kg/m <sup>3</sup> )
W.	$\rho_{\text{air}}$	density of air	(kg/m <sup>3</sup> )
X.	$\rho_{\text{water}}$	density of water	(kg/m <sup>3</sup> )
Y.	$\rho_{\text{air}}$	density of air	(kg/m <sup>3</sup> )
Z.	$\rho_{\text{water}}$	density of water	(kg/m <sup>3</sup> )
P <sub>1m</sub>	$\rho_{\text{air}}$	density of air at 1 m height	(kg/m <sup>3</sup> )
P <sub>1v</sub>	$\rho_{\text{air}}$	density of air at 1 m height	(kg/m <sup>3</sup> )
P <sub>2</sub>	$\rho_{\text{air}}$	density of air at 2 m height	(kg/m <sup>3</sup> )
P <sub>2v</sub>	$\rho_{\text{air}}$	density of air at 2 m height	(kg/m <sup>3</sup> )
P <sub>x</sub>	$\rho_{\text{air}}$	density of air at height x	(kg/m <sup>3</sup> )

$\rho_{\text{air}}$	density of air	(kg/m <sup>3</sup> )
$\rho_{\text{water}}$	density of water	(kg/m <sup>3</sup> )
$\rho_{\text{wood}}$	density of wood	(kg/m <sup>3</sup> )
$\rho_{\text{steel}}$	density of steel	(kg/m <sup>3</sup> )
$\rho_{\text{copper}}$	density of copper	(kg/m <sup>3</sup> )
$\rho_{\text{aluminum}}$	density of aluminum	(kg/m <sup>3</sup> )
$\rho_{\text{iron}}$	density of iron	(kg/m <sup>3</sup> )
$\rho_{\text{lead}}$	density of lead	(kg/m <sup>3</sup> )
$\rho_{\text{cement}}$	density of cement	(kg/m <sup>3</sup> )
$\rho_{\text{concrete}}$	density of concrete	(kg/m <sup>3</sup> )
$\rho_{\text{brick}}$	density of brick	(kg/m <sup>3</sup> )
$\rho_{\text{soil}}$	density of soil	(kg/m <sup>3</sup> )
$\rho_{\text{dirt}}$	density of dirt	(kg/m <sup>3</sup> )
$\rho_{\text{dust}}$	density of dust	(kg/m <sup>3</sup> )
$\rho_{\text{ash}}$	density of ash	(kg/m <sup>3</sup> )
$\rho_{\text{soot}}$	density of soot	(kg/m <sup>3</sup> )
$\rho_{\text{smoke}}$	density of smoke	(kg/m <sup>3</sup> )
$\rho_{\text{fume}}$	density of fume	(kg/m <sup>3</sup> )
$\rho_{\text{vapour}}$	density of vapour	(kg/m <sup>3</sup> )
$\rho_{\text{gas}}$	density of gas	(kg/m <sup>3</sup> )
$\rho_{\text{air}}$	density of air	(kg/m <sup>3</sup> )
$\rho_{\text{water}}$	density of water	(kg/m <sup>3</sup> )
$\rho_{\text{wood}}$	density of wood	(kg/m <sup>3</sup> )
$\rho_{\text{steel}}$	density of steel	(kg/m <sup>3</sup> )
$\rho_{\text{copper}}$	density of copper	(kg/m <sup>3</sup> )
$\rho_{\text{aluminum}}$	density of aluminum	(kg/m <sup>3</sup> )
$\rho_{\text{iron}}$	density of iron	(kg/m <sup>3</sup> )
$\rho_{\text{lead}}$	density of lead	(kg/m <sup>3</sup> )
$\rho_{\text{cement}}$	density of cement	(kg/m <sup>3</sup> )
$\rho_{\text{concrete}}$	density of concrete	(kg/m <sup>3</sup> )
$\rho_{\text{brick}}$	density of brick	(kg/m <sup>3</sup> )
$\rho_{\text{soil}}$	density of soil	(kg/m <sup>3</sup> )
$\rho_{\text{dirt}}$	density of dirt	(kg/m <sup>3</sup> )
$\rho_{\text{dust}}$	density of dust	(kg/m <sup>3</sup> )
$\rho_{\text{ash}}$	density of ash	(kg/m <sup>3</sup> )
$\rho_{\text{smoke}}$	density of smoke	(kg/m <sup>3</sup> )
$\rho_{\text{fume}}$	density of fume	(kg/m <sup>3</sup> )
$\rho_{\text{vapour}}$	density of vapour	(kg/m <sup>3</sup> )
$\rho_{\text{gas}}$	density of gas	(kg/m <sup>3</sup> )

$\mathbf{M}_{\infty}$	maximum value	
$\mathbf{M}_{max}$	maximum element	(10,0)
$\mathbf{M}_t$	first element	(10,0)
$\mathbf{P}$	matrix, pixel	(10,0)
$\mathbf{P}_T$	important matrix function	(10,0)
$\mathbf{P}_{xx}$	downsampling	(10,0)
$\mathbf{P}_{xx}$	subsampling	(10,0)
$\mathbf{P}_{xx}$	tridiagonal	(10,0)
$\mathbf{P}_x$	tridiagonal matrix	(10,0)
$\mathbf{P}_x$	tridiagonal problem	(10,0)
$\mathbf{P}_x$	redundant tridiagonal	(10,0)
$\mathbf{Q}_1$	subset basis	(10,0)
$\mathbf{Q}_{11}$	weighted basis	(10,0)
$\mathbf{Q}_1$	topic, preferred primary growth	(10,0)
$\mathbf{Q}_1$	topic, preferred secondary growth	(10,0)
$\mathbf{Q}_1$	topic, preferred importance	(10,0)
$\mathbf{Q}_1$	topic, preferred size	(10,0)
$\mathbf{Q}_1$	topic, preferred shape/color pattern	(10,0)
$\mathbf{Q}_{11}$	unbiased classifier	(10,0)
$\mathbf{Q}_{11}$	weighted classifier with no identity	(10,0)
$\mathbf{Q}_{11}$	weighted classifier with no identity	(10,0)
$\mathbf{Q}_{11}$	weighted classifier with no identity	(10,0)
$\mathbf{Q}_{11}$	weighted classifier with no identity	(10,0)
$\mathbf{Q}_{11}$	classifier with no identity	(10,0)
$\mathbf{Q}_{11}$	classifier with no identity	(10,0)
$\mathbf{Q}_{11}$	classifier with no identity	(10,0)
$\mathbf{Q}_{11}$	classifier with no identity	(10,0)
$\mathbf{Q}_{11}$	classifier with no identity	(10,0)
$\mathbf{Q}_{11}$	classifier with no identity	(10,0)
$\mathbf{Q}_{11}$	classifier with no identity	(10,0)
$\mathbf{Q}_{11}$	unbiased classifier	(10,0)

$s_{rx}$	výpočtová tloušťka víka He nádoby	(mm)
$s_x$	tloušťka víka He nádoby	(mm)
$S$	průřez tálka	(mm²)
$S_i$	pracovní průřez	(mm²)
$S_v$	průřez vodičů	(mm²)
$t$	reztečná vzdálenost úchytů	(mm)
$\Delta t$	změna reztečné vzdálenosti	(mm)
$T$	absolutní teplota	(K)
$T_0$	okolní teplota	(K)
$\Delta T_1$	teplotní spád na tálku	(K)
$T_{He}$	teplota kapalného helia	(K)
$T_N$	teplota kapalného dusíku	(K)
$T_{kr}$	kritická teplota	(K)
$u_{\circ}, u'_{\circ}, u''_{\circ}$	měrná tepelná energie	(J·kg⁻¹)
$u_p$	měrná tepel. energie v bodu přechodu	(J·kg⁻¹)
$v$	výsledný měrný objem helia	(m³·kg⁻¹)
$v'_{\circ}$	měrný objem vreucího helia	(m³·kg⁻¹)
$v''_{\circ}$	měrný objem heliových par	(m³·kg⁻¹)
$v'_p, v''_p$	měrný objem v bodu přechodu	(m³·kg⁻¹)
$V$	objem částice	(m³)
$V_{He}$	celkový objem kapalného helia	(m³)
$V_N$	objem kapalného dusíku	(m³)
$V'$	objem vreucího helia	(m³)
$V''$	objem heliových par	(m³)
$W_o$	modul průřezu v ohybu	(m³)
$x$	předepsaná bezpečnost	
$x_o$	suhotecheliových par ve výchozím bodě	
$\alpha_1, \alpha_2$	koefficient akomodace	
$\alpha_N$	součinitel tepelné roztažnosti nerezu	

$\alpha_{sk}$	součinitel tepelné roztažnosti sklolaminátu	
$\alpha_u$	úhel úchytu před dilatací	(deg)
$\beta$	součinitel tvaru víka	
$\beta_u$	úhel úchytu	(deg)
$\beta_{sv}$	součinitel tloušťky svaru	
$\gamma$	korekční součinitel otvorů	
$\alpha_1, \alpha_n$	převodní součinitel	
$\frac{\partial H}{\partial x}$	gradient intenzity pole	(A.m <sup>-1</sup> )
$\lambda_{sk}$	teplná vodivost sklolaminátu	(W.m <sup>-1.K<sup>-1</sup>)</sup>
$\lambda_v$	teplná vodivost vodičů	(W.m <sup>-1.K<sup>-1</sup>)</sup>
$\mu_0$	permeabilita vakuu	(m.kg.s <sup>-2</sup> .A <sup>2</sup> )
$E$	poměrná sálavost	
$\gamma$	úhel kuželu	(deg)
$\chi$	poměr specifických tepel	
$\chi_c$	magnetická susceptibilita částice	
$\rho_{He}$	měrná hmotnost kapalného He	(kg.m <sup>-3</sup> )
$\rho_N$	měrná hmotnost kapalného N	(kg.m <sup>-3</sup> )
$\rho_{kr}$	kritická měrná hmotnost	(kg.m <sup>-3</sup> )
$\sigma_{ov,o}$	dovolené napětí v ohýbu	(MPa)
$\sigma_{ov,t}$	dovolené napětí v tahu	(MPa)
$\sigma_o$	napětí v ohýbu	(MPa)
$\sigma_{p_{20}}$	mez pevnosti při 20 °C	(MPa)
$\sigma_{p_{4K}}$	mez pevnosti při 4 K	(MPa)
$\sigma_{kt}$	mez kluzu	(MPa)
$\tau_s$	srovnávací napětí	(MPa)
$\tau_{  }$	rovnoběžné smykové napětí	(MPa)
$\tau_\perp$	kolmá smykové napětí	(MPa)

## 1. ÚVOD

V poslední době je v celém světě stále aktuálnější otázka výroby a využití energie. Klasických zdrojů energie, jako je uhlí, nafta, plyn, stále ubývá. Využívání jiných zdrojů (jaderné energie, slunečního záření, teplo zemského jádra) je stále ještě ve vývoji. Výroba energie má tedy dnes své omezení. Z tohoto důvodu je důležité její hospodárné využívání.

XV. sjezd KSČ určil směr, kterým se v této oblasti bude řídit náš průmysl, 14. plenum ÚV KSČ z prosince 1979 tento směr potvrdilo. Je to maximální možné racionalní hospodaření s energií současně s vývojem výrobní techniky. V souladu s touto tendencí je nutné věnovat značnou pozornost vlastnosti, která se nazývá supravodivost.

Je to vlastnost některých látok, kterou nabývají při překročení určité hluboké teploty, tzv. "přechodové". V tomto stavu látka skokem pozbude svůj elektrický odpor, ztráty vzniklé v supravodiči nejsou prakticky změřitelné. Dnes je známo asi 30 čistých kovových prvků (Hg, Pb, Sn, In, Nb, Ti aj.) a více než 1 000 slitin a intermetalických sloučenin, u kterých tento jev probíhá.

Aplikací supravodivosti v praxi se zabývá kryogenní technika. Je to oblast techniky zabývající se chlazením na teploty pod 20 K. Jako fyzikální jev je supravodivost známa již 69 let, avšak teprve technický pokrok v posledních 15 letech ukázal, že supravodivost je jedním z nejvýznamnějších objevů téhoto století. Aplikace supravodivosti v

**silnoproudé elektrotechnice** však vyžadují zpravidla řešení celého kryogenního systému, který se skládá ze zdroje chladu, zásobní nádoby na kapalný plyn a kryostatu.

V současné době je kryogenní technika průmyslovým odvětvím s dynamickým rozvojem. Důležitá je výroba kyslíku níketoplotním dělením vzduchu. Zkapalnění vzduchu se dosáhne pomocí chladicího cyklu, ve kterém probíhá škrčení vzduchu nebo expanze. Využitím různých bodů varu u jednotlivých složek je možno vzduch rozdělit v rektifikačních kolonách na kyslík, dusík, argon a další plyny. V hutnictví se vháněním vzduchu obhaceného kyslíkem zvýší produktivita práce a sníží se výrobní náklady (např. ve VSŽ Košice o 93 milionů Kčs ročně).

Využitím supravodivosti by bylo možno zlikvidovat ztráty vznikající ve vedení při přenosu elektrické energie. Ztráty jsou značné, vždyť například v SSSR je "cestovní spotřeba" více než 10 % veškerého elektrického výkonu. Snižení ztrát je možné řešit zvyšováním napěti ve vodiči, to je ale omezeno kvalitou izolátoru a tím i spolehlivosti. Radikálním řešením je vést elektrický proud kabelem ze supravodivých materiálů. Takový kabel byl už sovětskými vědci vynalezen.

Další uplatnění supravodivosti je v elektromagnetické separaci látok. V tradiční podobě se tak efektivně rozdělují jen nemagnetické a magnetické rudy, což má význam pro obhacování méně bohatých rud v hornictví. Chceme-li ale vyčlenit jednu nemagnetickou látku z druhé, musíme rychle zvýšit intenzitu magnetického pole. Tudíž i na tomto poli techniky vzniká potřeba supravodivosti. Pokusy se ale uká-

zalo, že supravodivost je úzce závislá na intenzitě magnetického pole a na proudu procházejícím vodičem. Zvýšením intenzity magnetického pole na kritickou hodnotu supravodivost zmizí a rovněž vodič přejde do normálního stavu při překročení určité intenzity proudu.

Výzkumy bylo zjištěno, že se daří očistit pomocí supravodivého magnetu uhlí a naftu od síry, získat z hliněných směsi výsoko kvalitní suroviny pro keramický a papírenský průmysl.

V této diplomové práci je navázáno na využití supravodivosti při řešení magnetické separace kaolinu s ohledem na potřeby n. p. Ferex Děčín, kde se bude kryostat pro supravodivý magnet řešit jako součást státního Školu.

## 2. PŘEHLED SOUČASNÉHO STAVU

### 2.1 Magnetická separace s vysokým gradientem pole a výhledy využití supravodivosti v této oblasti

Dosavadní využití magnetické separace feromagnetických látek s poměrně hrubém zrnění vystačilo s magnetickými poli s nízké indukcí (do 1 T) a nízkým gradientu (do  $10^5 \text{ Am}^{-2}$ ). Typy separátorů, které jsou používané: bubnový, pásový, talířový.

Používané elektromagnety: vinutí měděné, hliníkové, chlazené vodou nebo vzduchem.

Velké zásoby nerostných surovin v zemské kůře zůstáva-

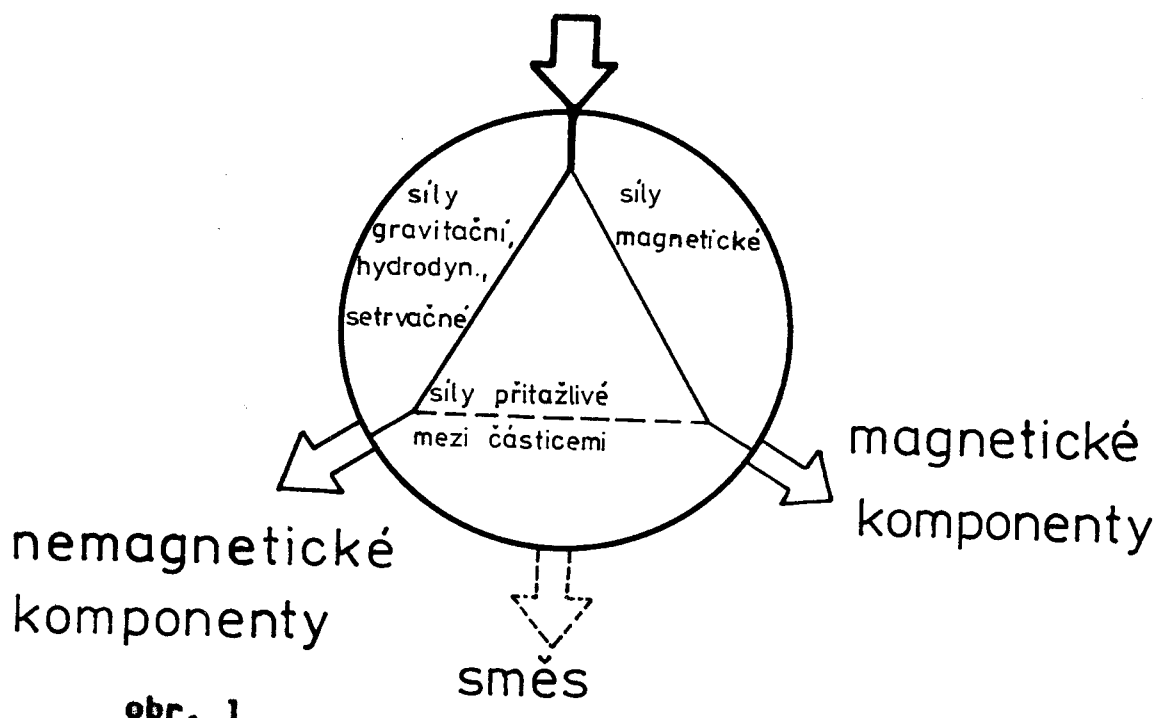
ly nevyužity, protože žádoucí látky jsou v nich příliš jemně rozptýleny, než aby mohly být hospodárně izolovány desavadními metodami separace.

Podmínky magnetické separace částic s různou susceptibilitou.

Při rozboru silového účinku na pohyblivé částice s různými magnetickými momenty v magnetickém poli zjistíme, že se jedná v podstatě o superpozici tří druhů sil:

- a) přitažlivé síly mezi částicemi
  - b) magnetické síly
  - c) gravitační, setrvačné, hydrodynamické, třecí
- Přitažlivé síly separaci omezují, další dva druhy sil způsobují oddělování částic.

Principiální schéma magnetické separace :



obr. 1

Magnetická separace ve vodních suspenzích využívá kromě gravitace i tahu kapaliny, jehož vliv převažuje se zmenšující se velikostí částic.

Při magnetické separaci v kapalině je třeba, aby magnetický tok vyvolal nezávislé přemístění některých částic ve vodní suspenzi. Při malých rozměrech částice (např.  $25\mu\text{m}$ ) se stane převažujícím tek kapaliny a zabráni se tak tomu, aby magnetická akcelerace částic dosáhla potřebné hodnoty za krátkou dobu pobytu v magnetickém poli. Kdyby byl proto malý průtek, neexistovala by prakticky hranice spodního rozsahu částic, výkon separátoru by byl však velmi malý.

Tah kapaliny, který závisí na povrchu částice, tedy vytváří spodní limit velikosti částice v mokré separaci. Podstatným zvýšením magnetické tažné síly nad meze dosahované v dosavadních konvenčních separátořech lze rozšířit použitelnost magnetické separace směrem k jemnějším částicím.

Vložíme-li zmagnetovanou částici do homogenního magnetického pole, bude na oba póly působit stejně velké síly opačného směru a po natočení částice do směru pole bude výsledná magnetická síla nulová. Liší-li se ale intenzita magnetického pole v místech obou magnetických pólu částice, vznikne nerovnováha sil a na částici bude působit výsledná síla.

Sila  $F_x$ , působící na částici ve směru x v nehomogenním magnetickém poli ve vakuu:

$$F_x = \rho_c \frac{\partial H}{\partial x} = \mu_0 \cdot \chi_c \cdot V \cdot H \cdot \frac{\partial H}{\partial x}$$

Je tedy zřejmé, že pro danou látku (H), velikost častic (V) můžeme ovlivnit pouze H a  $\frac{\partial H}{\partial x}$  (gradient intenzity magnetického pole). Zvyšování H má význam jen tehdy, způsobi-li zvýšení  $\rho_c$ . Klasickými prostředky se získá jen za cenu vysokých energetických nákladů. Zvýšení gradientu pole je účinné vždy a je poměrně snadno realizovatelné.

Nejsnazší cesta k vytvoření vysoké nehomogenity pole je vložení jemnozrnného nebo jemně vláknitého feromagnetickeho filtru do prostoru magnetického pole, v němž má dojít k separaci.

Základním požadavkem na filtr je dostatek ploch k zachycení magnetických častic a vytvoření lehkálních vysokých gradientů intenzity magnetického pole. Náplň filtrů musí tedy obsahovat velké množství dřebných, magneticky nasycených tělisek, obsahujících plechy s malým poleměrem křivosti a dostatečným prostorem pro průtek rmutu. Filtry bývají železné. Jsou-li tvorený kuličkami, mají výhodu vhodné dráhy pro magnetický tek, avšak nízký gradient. Filtry z ocelové nerezové vlny utváří na povrchu vysoký gradient po nasycení. Je ale obtížné magnetické nasycení dosáhnout. I při stlačení vlny je 90 % objemu volným prostorem; pro průtek je to vhodné, ale většina vláken je orientována kolmo k poli. Tato vlákna, aby se

zmagnetovála do nasycení, potřebuje 10x silnější pole, než kompaktní materiál.

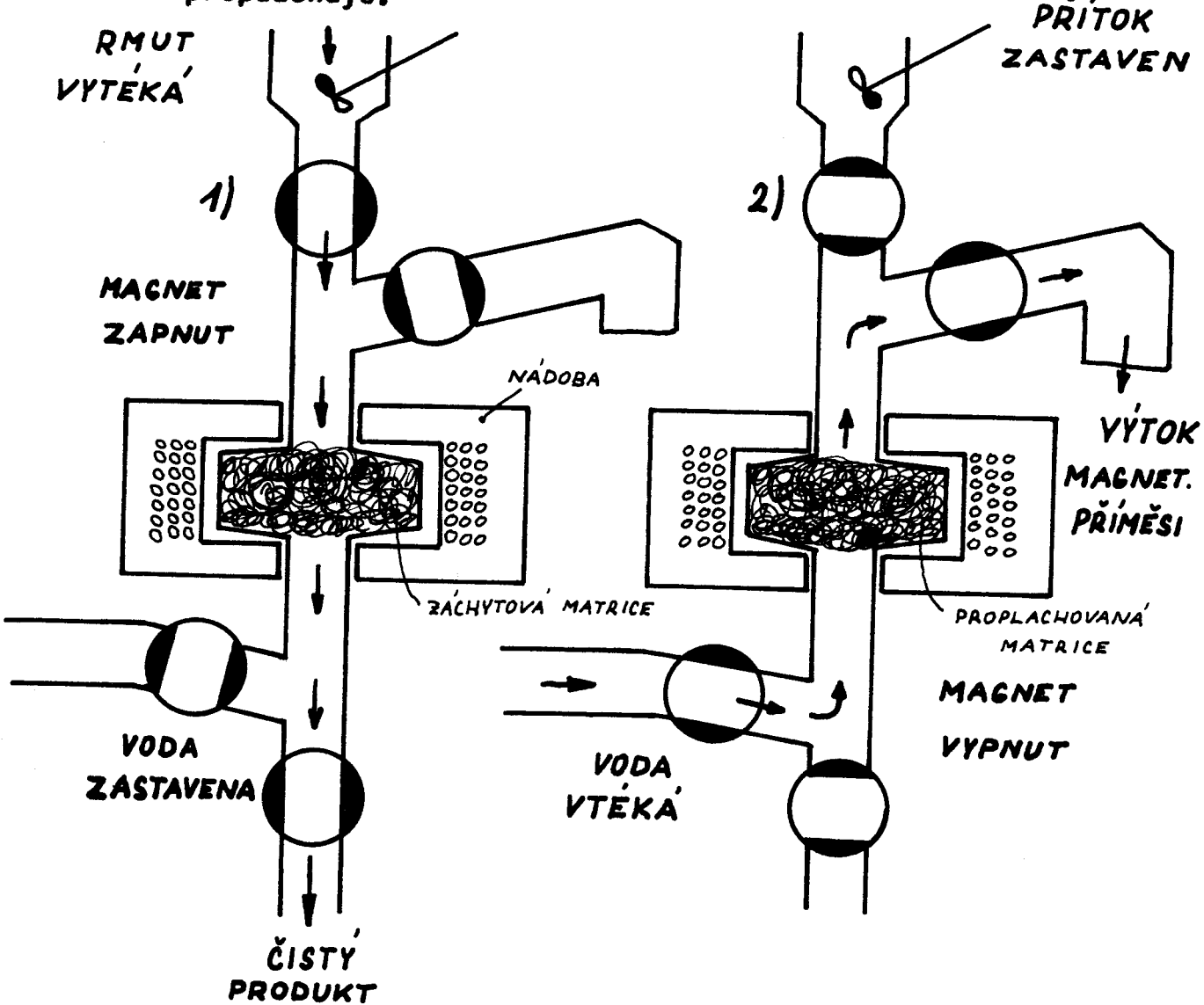
#### Typy separátorů s vysokým gradientem

Vysoký gradient magnetického pole může obecně existovat jen v malém objemu, jeho vytvoření na plochách dostatečně rozměrných k zachycení praktického množství částic je značným problémem.

Od použití drážkovaných desek, mezi nimiž se vytvářela indukčnost maximálně 1,3 T, se upustilo. Významného pokroku se totiž dosáhlo aplikací separátoru, který využila skupina pracovníků na Massachusetts Institute of Technology pod vedením H. Kolma.

Matricí je feromagnetická nerezová vlna. K jejímu zmagnetování do nasycení je použit solenoid, jehož průměr je větší než délka. Solenoid je uzavřen v železném pláště. Tímto obvodem lze vytvářet pole až 2 T v poměrně velkém prostoru. Ve srovnání s konvenčními separátory tento obvod vyžaduje desetinu investic a spotřebuje desetinu elektrické energie. Separátor typu Kolm-Marsten byl zkonstruován nejprve pro diskontinuální, později pro kontinuální provoz. Úpravy kaolinu jsou zatím vybaveny diskontinuálními separátory. U nás v ČSSR je takový separátor instalován v závodě Kaznějov pro úpravu kaolinu. Výrobcem separátoru je švédská firma SALA. Nevhodou diskontinuálního separátoru (obr. 2) je přetržitý provoz. V Kaznějově má přístroj osmiminutový cyklus,

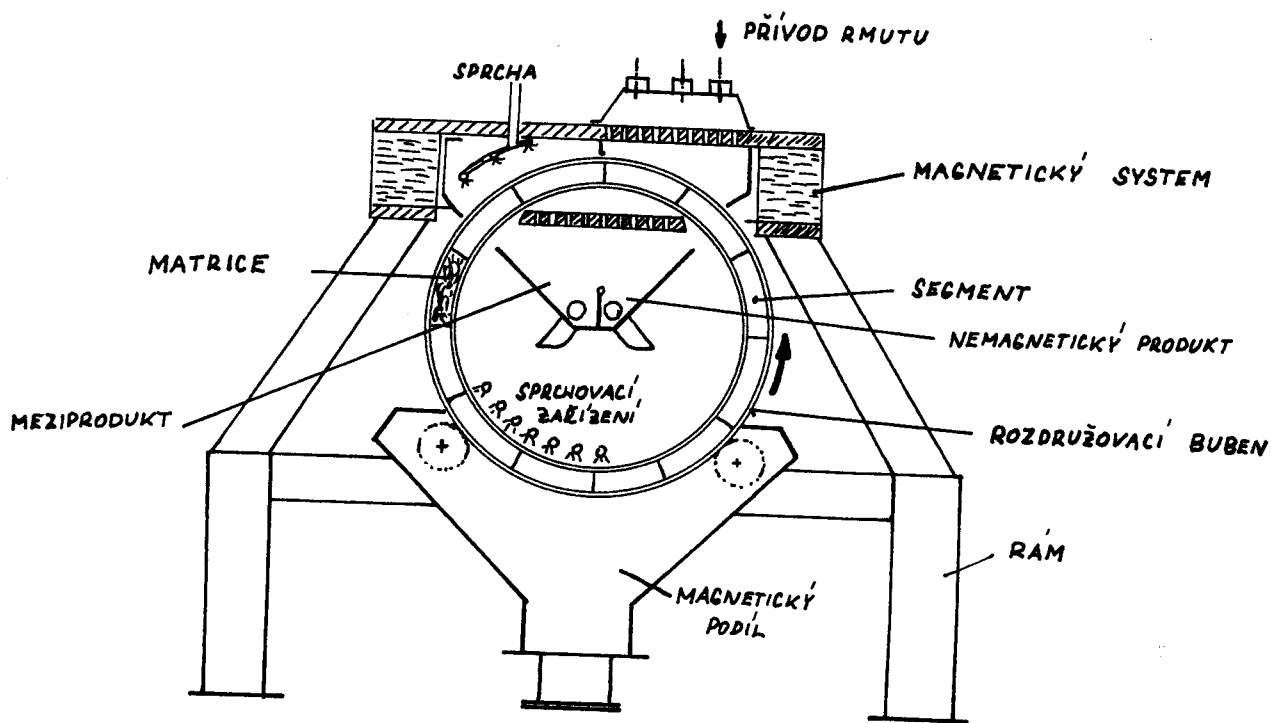
z toho šest minut je v provozu a dvě minuty se matrice proplachuje.



obr. 2

Přetržitost provozu se odstraní aplikací kontinuálního typu vysokogradientního magnetického separátoru druhé generace (obr. 3). Matrice z nerezové ocelové vlny je uložena v segmentech retujícího mezikruží. Když daný segment najede do prvej časti magnetického obvodu, kterou protéká rmut,

matrice se zmagnetuje a zaplní se v proudu rmutu postupně magnetickými částicemi. V druhé části magnetického obvodu je matrice preplachována vodou, aby byly vyplaveny nemagnetické částice, které se na matrici mechanicky zachytily. Když segment vyjede z magnetického obvodu, jsou preplachovací vodou z matrice odstraněny magnetické částice a matrice je připravena pro další použití.



obr. 3

Separátory s matricí se nazývají usazovací. Matrice má ovšem nevýhodu v přerušovaném provozu; ať je diskontinuální nebo kontinuální, vždy se musí po zanesení výčítit. Nejvýhodnější by proto bylo použít separátor bez matrice, průtokový. V něm je podstatný tvar budícího

magnetického pole, které samotně vytváří magnetickou sílu působící na separovanou částici. Pro tento typ separátorů by se zvlášť dobře hodily supravodivé magnety, protože se jimi dají vytvořit silná nehomogenní pole ve velkých objemech.

Je známo, že supravodivý magnet má při silnějších magnetických polích a větších separačních objemech menší rozložení a hmotnost, než magnet normální. Z hlediska celkových nákladů jsou supravodivé magnety jednoznačně výhodnější, protože spotřeba energie je u normálních magnetů nepoměrně vyšší a po zavedení velkovýroby supravodičů může být porovnatelná i cena magnetů supravodivých s normálními. Z technického hlediska je pozoruhodné, že v supravodiči může být velká proudová hustota při prakticky nulovém elektrickém odporu (až  $10^{10}$  A . m<sup>-2</sup>). Tím se vyvina tak velká magnetomotorická síla, že je možno dosáhnout ve vzduchu indukci až 17 T.

## 2.2 Využití magnetické separace při čištění kaolinu

Československo patří k nejvýznamnějším producentům a vývozcům kaolinu. Objemem výroby kaolinu jsme na pátém, exportem kaolinu na třetím místě ve světě.

V období minulých dvaceti let se světová produkce kaolinu ztrojnásobila a kaolin se používá ve více a více průmyslových odvětvích.

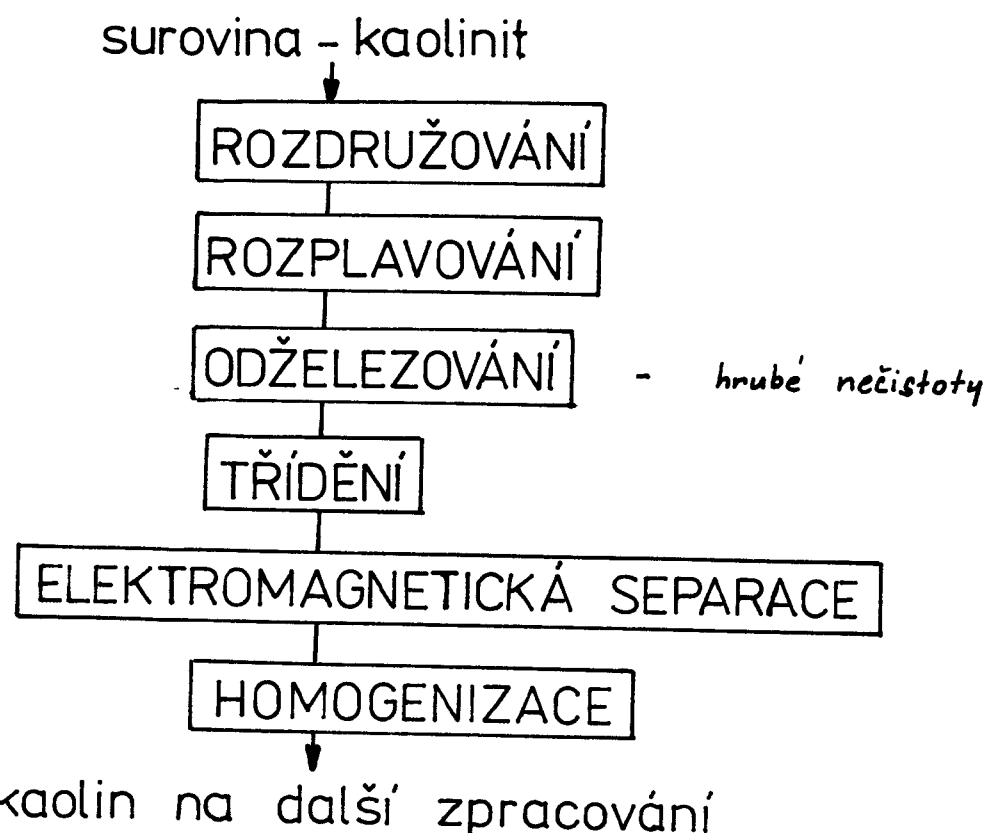
K nejdůležitějším jakostním parametrům kaolinu, určujícím jeho použitelnost v průmyslu keramickém, papírenském aj., patří množství pigmentujících příměsi, obsahujících Fe a Ti. Jedná se především o muskovit, biotit, siderit, pyrit, granát, rutil, přírodní kysličníky a hydroxidy železa. Tyto znečišťující příměsi jsou rozptýleny v řadě kaolinů i v nejjemnějších frakcích v částicích o velikostech několika mikrometrů, takže běžné separační postupy jsou neúčinné. Ohromné zásoby keramických a papírenských kaolinů musí být proto vykazovány jako nebilanční, přičemž stávající ležiska jakostních surovin jsou vyčerpávána mnohem rychleji, než se původně předpokládalo. Za nebilanční se považují kaoliny s obsahem Fe + Ti větším, než 1,1 %.

Při separaci těchto kaolinů bylo ale dosaženo úspěchů použitím separace při vyšší intenzitě magnetického pole. Tuto metodou bude možné nahradit dosavadní selektivní těžbu surovinevých partii s nižšími obsahy železa těžbou hromadnou s následnou magnetickou separací. Bude to mít velký ekologický vliv, protože se nezničí tvářnost krajiny místními nálezy, ale postupně se bude oddebírat celé ležisko.

Výroba keramické plastické hmoty - kaolinu - bude probíhat obvyklým mokrým způsobem, po rozplavení ale surovina projde magnetickým separátorom (viz obr. 4).

Magnetický separátor firmy SALA, který je instalován v úpravně kaolinu Kaznějov, má ale příkon 400 kW. Modelové

zařízení SALA, jež májí ve VÚK Karlovy Vary, má příkon 100 kW. Přitom maximální jmenovitý výkon v Kaznějově je 30 - 40 t/hod.



obr. 4

ČSSR, jako jediný stát v RVHP, má pro členské státy RVHP dodat počínaje rokem 1982 100 - 200 kusů separátorů s vysokým gradientem o jmenovitém výkonu 80 - 100 t/h. Vzhledem k velkému příkonu vzniká nezbytnost aplikace súpravovidého magnetu v těchto separátorech.

### 2.3 Supravodivé magnety pro separaci

Supravodivý magnetický systém je zařízení, které má tyto hlavní části:

supravodivé vinutí a jeho nosná konstrukce

železný magnetický obvod (případně)

kryostat

přívody proudu

ochranné odpory

náplň chladící kapaliny

napájecí zdroj

měřicí, ochranné a ovládací přístroje.

Chladi se buď pouhým ponorěním do lázně kapalného helia vroucího při atmosférickém tlaku ( $T = 4,2 \text{ K}$ ) nebo proudem dvoufázového nebo nadkritického helia kolem vodičů nebo uvnitř dutých vodičů ( $T = 4,4 - 5 \text{ K}$  při tlaku vyšším, než atmosférickém).

Železný magnetický obvod má dvě funkce: přispívá k zvýšení indukce magnetického pole v pracovním prostoru a vede zpětný magnetický tok, čímž stíní okolí od magnetického pole vinutí. Železo nemá výrazně lepší magnetické vlastnosti při heliové teplotě. Vzniká tím problém zachycení sil mezi vinutím a železem v prostoru tepelné izolace, je-li železný magnetický obvod na normální teplotě mimo kryostat.

Kryostat má vakueovou tepelnou izolaci, ve které se nachází soustava stěn odrážejících sálání. Vakuum se vytvoří

buď jednorázovým čerpáním, což vyžaduje vakuotěsné svary a těsnění rozebiratelných částí a ventilů, nebo se zajistuje trvalým čerpáním vývěrou. Kryostat musí být opatřen bezpečnostními ventily pro případ náhlého stoupenutí vnitřního tlaku nad přípustnou hodnotu.

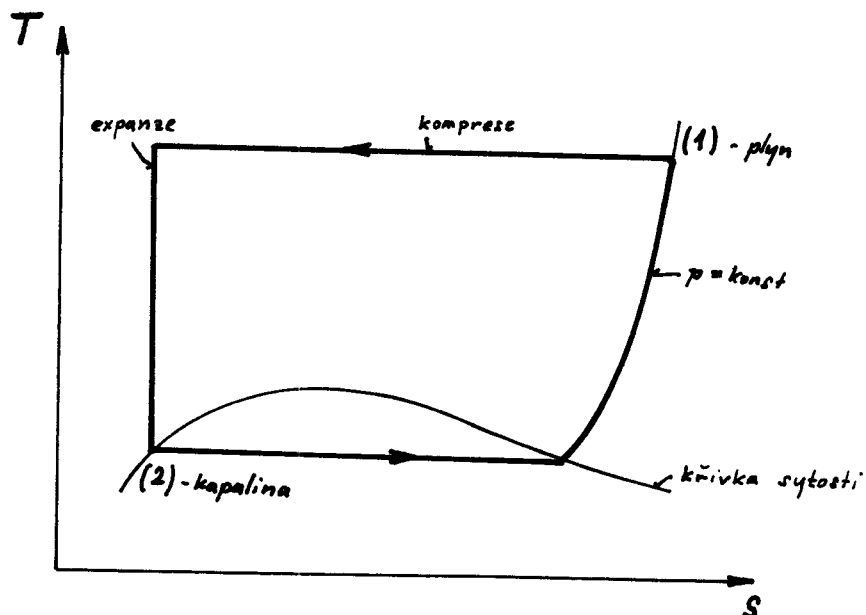
Přívody proudu jsou konstruovány tak, aby přiváděly co nejméně tepla do chladící kapaliny.

Ochranné odpory slouží k rychlému odvedení energie magnetického pole vinutí v havarijním stavu. Tím se chrání vinutí před nadměrným ohřevem a kapalina před rychlým odparšením při zániku supravodivého stavu. Tyto ochranné odpory se umisťují mimo kryostat nebo nad vinutím v parách helia, když se proudové přívody přeruší.

Při otevřeném způsobu chlazení se kapalné helium musí do kryostatu trvale doplňovat ze zásobníku tak, aby se jeho hladina udržovala na předepsané úrovni. Kapalné helium se vyrábí ve zkапalňovači. Jeho princip je znázorněn v T - s diagromu (obr. 5).

Je to teoretický ideální cyklus zkапalnění plynu. Plyn, vstupující do cyklu (1) se izotermicky stlačuje od počátečního tlaku do konečného. Teplota, vzniklá stlačením, se odvádí ve výměníku do obíhající látky. Po stlačení následuje izoentropická expanze. Práce, vzniklá v tomto procesu v expanderu (detanderu) se použije pro stlačení plynu. Konečný tlak se volí takový, aby po expanzi

v detanderu byl plyn zcela zkapalněn.



obr. 5

Napájecí zdroj slouží k zavedení energie magnetického pole do vinutí při prvním nabuzení, na udržení stálého proudu v provozu a na pomalé vyvedení energie z vinutí podle předepsaného programu provozu. Proudově musí být dimenzován na největší proud vinutí a napěťově na předepsanou rychlosť nabuzení. Moderní napájecí zdroje jsou v podstatě ze sítě napájené, diodově usměrněné a tranzistory nebo tyristory regulovatelné, vedou nebo vzduchem chlazené přístroje.

Celý provozní pracovní cyklus supravodivého magnetu, vč. doplňování chladící kapaliny a ochrany, je možno automatizovat.

Z hlediska provozní spolehlivosti při nepřerušeném chodu separátoru jsou v supravodivém magnetickém systému

tato kritická místa: dodávka chladící kapaliny, porušení vakua, přechod supravodivého vinutí do normálního stavu, porucha napájecího zdroje, přerušení dodávky elektrické energie. Poslední dvě okolnosti se mohou vyskytnout i v provozu normálních separátorů a proto nebudou z tehotě důvodu supravodivé separátry o nic poruchovější. Naopak, v perzistentním chodu nemůže krátkodobé přerušení dodávky elektrické energie ovlivnit chod samotného magnetu. Dodávka chladící kapaliny je závislá na bezporuchovém chodu zkapalňovače nebo refrigerátoru. S dlouhodobým provozem těchto zařízení jsou již určité zkušenosti a je třeba přiznat, že se nedá zaručit jejich 100 % dlouhodobá provozní schopnost a bezporuchovost. Mimo to vyžaduje obsluha těchto zařízení - i když jsou plně automatizované - kvalifikovaný personál. V tomto směru se očekává postupný vývoj k lepšímu, jestliže objem objednávek zajistí návratnost prostředků věnovaných zdokonalování těchto zařízení. K porušení vakua a k přechodu supravodivého vinutí do normálního stavu může dojít nejpravděpodobněji při nějakém mechanickém působení. Pro nedostatek zkušeností s provozem supravodivých magnetů v průmyslových podmínkách nelze tento problém ještě jednoznačně posoudit. Je možné vysleavit jen předpoklad, že součinností praktiků v separaci a konstruktérů supravodivých magnetů a kryostatů bude možné poruchovost z tehotě důvodu vyloučit téměř úplně. Nesporné je, že supravodivý separátor je složitější zařízení než normální separátor a jeho obsluha a kontrola bude vyžadovat vyšší kvalifi-

kaci. Nejméně spolehlivé prvky kryogenního chladícího systému, expandery a kompresory, se většinou kvůli prevezní spolehlivosti zdvejují.

#### **2.4 Technické a ekonomické porovnání separace normálními a supravodivými separátory**

---

V případě silně magnetických materiálů (ferromagnetických) lze s úspěchem využívat poměrně slabých magnetických polí buzených např. permanentními magnety. Podstatně širší škála fyzikálních a technických problémů se objeví u skupiny slabě magnetických materiálů. Dřívější technika úpravy slabě magnetických materiálů byla zdokonalena rozvinutím metody magnetického mokrého rozdružování. Uspokojivé vlastnosti rezdružovačů se dosahuji vytvořením poměrně vysoké intenzity magnetické indukce (około 1 T) a jejího gradiantu.

Klasické typy separátorů mají své jméno pravděpodobně od klasického způsobu výroby magnetického pole. Na konstrukci běžného separátoru s matricí navázal J. H. Watson, který klasický magnet nahradil supravodivým solenoidem navinutým supravodičem Nb - Ti. Maximální pole dosažené v tomto magnetu bylo 5 T. Jako matrice byla použita nerezová ocelová ferromagnetická vlna s průměrem vlákna około 70  $\mu\text{m}$ .

Supravodivé magnetické systémy svými vlastnostmi (dosahováním vysokých hodnot indukce ve značném objemu a relativ-

ně vysokeho gradientu) dovolí v budoucnu vyloučit pracovní element - matrici a tím odstraní všechny s ní spojené potíže. Navíc hodnoty magnetické indukce nejsou omezeny shora hodnotou magnetického sycení železa (tj. 2 T). Takové magnetické systémy jsou již navrženy a jsou te v podstatě různé konfigurace kvadrupélu.

Seriózní ekonomické porovnání klasických a supravodivých separátorů je v současné době značně obtížné. Obtížnost spočívá v tom, že dosud není publikováno průmyslové nassazení supravodivého separátoru, takže podklady pro ekonomiky provozu existují pouze u klasických separátorů a obdobné charakteristiky supravodivých separátorů jsou získány pomocí teoretických předpokladů odvozených z provozu malého počtu laboratorních modelů.

Nejobecnější hodnotící kritéria podal R. Arvidsen. Ekonomické hodnocení rozdělit na čtyři části:

A) investice - materiál

práce (návrh magnetu, obvodu, matrice, karusel ap.)

B) provoz - cena elektrické energie

vlastní provoz (pohon pohyblivých částí)

C) údržba - u kontinuálních klasických separátorů je zvýšená údržba pohyblivých součástí, pozornost věnována matrici

D) důchod - zahrnuje cenu výrobku, explatace ležisek nestřelných surovin, nové druhy dosud neziskaných materiálů ap.

Podrobný postup dodržel P. G. Marston, který shrnul data o dosud nejužívanějších úpravách kaolinu. Srovnání klasického separátoru se supravodivým založil na podmínce stejného výkonu separátoru, kdy předpokládá, že platí pro indukce  $B$  a pracovní průřezy  $S$  vztah:

$$\frac{B_1}{B_2} = \frac{S_1}{S_2}$$

Toto srovnání je uvedeno v tabulce 1:

	<b>SUPRAVODIVÝ Ø61cm; B=6T</b>	<b>KLASICKÝ Ø107cm; B=2T</b>
<i>Instalovaná cena [mil. \$]</i>	0,5	0,25
<i>Příkon magnetu [kW]</i>	0	100
<i>Výkon [t/hod]</i>	20	20
<i>Cena měrného příkonu [\$/t]</i>	0	0,10
<i>Celková cena [\$/t]</i>	10 ÷ 20	10 ÷ 20
<i>Cena příkonu : cena celková</i>	0	1 ÷ 0,5 %

Při bližším studiu je ale zřejmé, že autor použil pro ekonomické porovnání jedno z hledisek, které se zdá být zatíženo subjektivním přístupem. Klasické separátory mají tež příkon elektrické energie větší, např. SALA Magnetics uvádí pro separátor typu HGMS 107 - 1 M - 19 příkon 400 kW při výkonu 20 t/h kaolineové suspenze, tozn. že proti údajům v tabulce 1 je příkon 4x větší.

Je zřejmé, že do ekonomického rozboru by bylo nutné zahrnout další hlediska než pouze pořizovací náklady a náklady na energii. Vhodným začleněním magnetické separace do úpravnických linek je možné podstatně ekonomičtěji využívat naši eurevinovou základnu. Dále zhodnotit dosavadní

náklady na geologický průzkum, který některá ležiska označil za netěžitelná při současném stavu zpracování suroviny. V neposlední řadě je velká naděje na získání surovin s mnohem vyššími kvalitativními parametry, které mohou omezit, případně úplně zastavit děvoz těchto surovin zvláště ze státu devizové oblasti.

Všechny tyto vlivy působí při vytváření komplexního ekonomického hodnocení, avšak za současného stavu zdalestí je velice obtížné je všechny správně zhodnotit.

### 3. VLASTNÍ ŘEŠENÍ

Na základě dosavadních poznatků je úkolem předložené diplomové práce vypracovat návrh kryostatu supravodivého magnetu použitelného pro magnetický separátor linky na úpravu kaolinu.

Při řešení úkolu se vychází jednak ze známých poznatků, uvedených v předešlé části práce, jednak z připomínek a poznatků pracovníků n. p. Ferox, Děčín, kde má být řešení realizováno.

Navržený kryostat, jehož podrobný mechanický a tepelný výpočet je hlavní částí předložené diplomové práce, je tvořen následujícími prvky, které jsou navrhovány postupně:

#### Plášt kryostatu

Je to část vnější, největší nádoby zařízení. Z ní je odčerpáván vzduch vývěrou, aby byly co nejméně přívody tepla vedením vzduchu mezi nádobou vnější a dusíkovou, také mezi dusí-

kovou nádobou a heliovou. Plášt musí být tedy vakuotěsný, odolný proti vnitřnímu podtlaku (tj. vnějšímu přetlaku) po stránce pevnostní i stabilní.

#### Plášt dusíkové nádoby

Jsou součástí dusíkové stínící nádoby, mezi nimi je kapalný dusík. Plášt proto musí být opět vakuotěsné, musí zajistovat pevnost a stabilitu nádoby.

#### Plášt heliové nádoby

Jsou součástí hlavní heliové nádoby, ve které je supravedivý magnet. Plášt musí být dostatečně pevné a stabilní, svary vakuotěsné.

#### Víka kryostatu

Je přišroubováno k přírubám pláštů. Jsou na něm úchyty pro vnitřní nádoby, hrdlo heliové a dusíkové. Musí být proto dostatečně pevné a stabilní, vakuotěsné.

#### Dno kryostatu

Je opět přišroubováno k přírubám pláštů. Je důležité pro vytvoření stability při transportu i při provozu.

#### Víka heliové nádoby

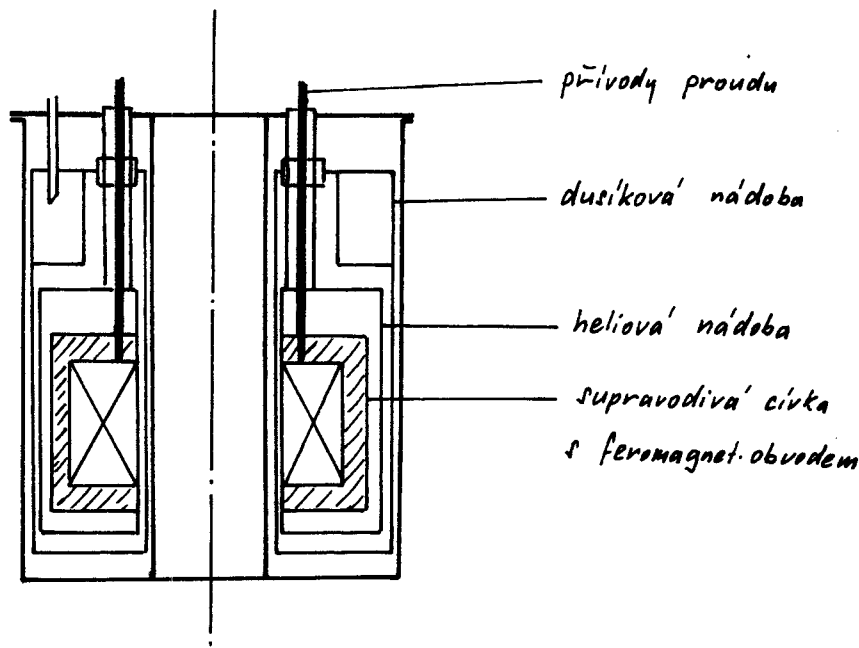
Musí být pevná, zajíšťující co nejmenší přestup sáláním. Je nutno uvažovat výrobní jednoduchost i snadnou případnou demontáž.

#### Úchyty dusíkové a heliové nádoby

Je u nich nutná vysoká pevnost, tuhost, malá tepelná vodivost. Zajíšťují pevné ustavení nádob.

### Návrh kryostatu

Kryostat je složen ze tří soustředných válcových nádob, které jsou od sebe vzájemně tepelně izolovány. Ve vnitřní heliové nádobě je umístěno supravodivé vinutí magnetu. Aby se co nejvíce zamezilo přívodu tepla k lázni kapalného helia, které je výrobně drahé, je heliová nádoba obklopena tepelným stíněním tvořeným dusíkovou nádobou (plněnou kapalným dusíkem) viz obr. 6. Prostor mezi heliovou a dusíkovou nádobou a vnějším pláštěm kryostatu je odčerpán na vakuum.



obr. 6 - ideový návrh kryostatu

### 3.1 Pevnostní výpočet kryostatu

Použité materiály:

Austenitická nerezavějící ocel 17246.1

$$\sigma_{p_{10}} = 550 \text{ MPa}; \sigma_{k_t} = 230 \text{ MPa}; E = 2,1 \cdot 10^5 \text{ MPa}$$

Hliníková slitina (Al-Mn) 424432.9

$$\sigma_{pt} = 500 \text{ MPa}; E = 0,71 \cdot 10^5 \text{ MPa}$$

### Sklo-textit

$$\sigma_{pt} = 200 \text{ MPa}; E = 1 \cdot 10^5 \text{ MPa}$$

Austenitické oceli mají při teplotě 293 K nejmenší pevnost. S klesající teplotou jejich pevnost vzrůstá. Může to být až 2,7krát, to znamená že při 4 K je pevnost

$$\sigma_{pt_{4K}} = 550 \cdot 2,7 = 1485 \text{ MPa}$$

### 3.1.1 Výpočet pláště

#### Výpočet pláště kryostatu

Plášť je zkoušen na vnitřní podtlak (vakuum), tj. na vnější přetlak. Výpočet na pevnost je založen na membránové teorii válce skořepiny velké délky. Výpočet na stabilitu vychází z Misesovy teorie.

Lze počítat dle normy ČSN 690011, je-li

$$\frac{D_v}{D_v - 2s_{pv}} \leq 1,2$$

Rezměry pláště: délka	$L_v = 600 \text{ mm}$
průměr	$D_v = 1720 \text{ mm}$
tloušťka stěny	$s_{pv} = 10 \text{ mm}$
podtlak	$p = 0,1 \text{ MPa}$

Materiálem pláště je volena hliníková slitina 424432.9.

Je odolná proti korozi, lehká, dobře svařitelná, není dražá.

$$\frac{D_v}{D_v - 2s_{pv}} = \frac{1720}{1720 - 2 \cdot 10} = 1,01 < 1,2$$

Předepsaná nerovnost vyhovuje, proto je možno počítat dle normy (3).

Dovolená nekruhovost:

$$\frac{L_v}{D_v} = \frac{600}{1720} = 0,349$$

$$\frac{s_{pv}}{D_v} = \frac{10}{1720} = 0,0058$$

Pro tyto hodnoty je dovolená nekruhovost

$$N = 0,5 s_{pv} = 0,5 \cdot 10 = 5 \text{ mm}$$

Tloušťka pláště:  $s_{pv} = s_{ov} + C$

Z hlediska pevnosti

$$s_{ov} = \frac{p \cdot D_v}{2 G_0 + p} = \frac{0,1 \cdot 10^6}{2 \cdot 142 \cdot 10^3 + 0,1 \cdot 10^6} = 6,05 \cdot 10^{-4} \text{ m}$$

$$\text{když } G_0 = \frac{G_{pt}}{x}; x = 3,5; G_{pt} = 500 \text{ MPa}$$

$$\Rightarrow G_0 = \frac{500}{3,5} = 142 \text{ MPa}$$

Z hlediska stability

$$A = \frac{p \cdot 10^6}{E} = \frac{0,1 \cdot 10^6}{0,71 \cdot 10^9} = 1,408$$

pro daný poměr

$$\frac{L_v}{D_v} \text{ je } s_{ov} = 0,0035 \text{ } D_v = 0,0035 \cdot 1720 = 6,02 \text{ mm}$$

Je zvolena tloušťka pláště  $s = 10 \text{ mm}$ .

#### Výpočet pláště dusíkové nádoby

Rozměry pláště:

vnější průměr dusíkové nádoby  $D_{n1} = 1630 \text{ mm}$

vnitřní průměr dusík. nádoby  $D_{n2} = 1490 \text{ mm}$

délka dutého pláště nádoby  $L_N = 550 \text{ mm}$

Materiálem je volena hliníková slitina 424432.9 - leštěno.

Podtlak  $p = 0,1 \text{ MPa}$

A) Výpočet vnitřního pláště

Plášť je zkoumán na vnější přetlak  $0,1 \text{ MPa}$ . Vzhledem k předchozímu výpočtu bude opět rozhodující pro výpočet tloušťky stěny pláště ztráta stability.

$$\frac{L_N}{D_{N1}} = \frac{500}{1 \cdot 490} = 0,369$$

Z hlediska pevnostního

$$S_{DN1} = \frac{p \cdot D_{N1}}{2G_0 + p} = \frac{0,1 \cdot 10^6 \cdot 1,49}{2 \cdot 142 \cdot 10^6 + 0,1 \cdot 10^6} = 5,24 \cdot 10^{-4} \text{ m}$$

Z hlediska stability

$$A = \frac{p \cdot 10^6}{E} = \frac{0,1 \cdot 10^{12}}{0,71 \cdot 10^{11}} = 1,408$$

pro daný poměr

$$\frac{L_N}{D_{N1}} \text{ je } S_{DN1} = 0,004 \quad D_{N1} = 0,004 \cdot 1490 = 5,96 \text{ mm}$$

Protože tento plášť nebude vystaven povětrnostním vlivům, na rozdíl od vnějšího pláště kryostatu, je volena jeho tloušťka  $s_{PN} = 6 \text{ mm}$ .

B) Výpočet vnějšího pláště

Plášť je zkoumán také na vnitřní podtlak, tj. vnější přetlak  $0,1 \text{ MPa}$ .

Výpočet tloušťky z hlediska pevnostního

$$S_{DN4} = \frac{p \cdot D_{N4}}{2G_0 + p} = \frac{0,1 \cdot 10^6 \cdot 1,63}{2 \cdot 142 \cdot 10^6 + 0,1 \cdot 10^6} = 5,86 \cdot 10^{-4} \text{ m}$$

Z hlediska stability

$$A = \frac{p \cdot 10^6}{E} = \frac{0,1 \cdot 10^{12}}{0,71 \cdot 10^{11}} = 1,408$$

$$\frac{L_N}{D_{N1}} = \frac{550}{1\ 630} = 0,337$$

Pro tyto hodnoty je

$$s_{ow} = 0,0035 \quad D_{N1} = 0,0035 \cdot 1\ 630 = 5,71 \text{ mm}$$

Tloušťka vnějšího pláště je zvolena také 6 mm.

#### Výpočet pláště heliové nádoby

Heliová nádoba má vnější plášť odstupňovaný.

Rozměry pláště:

vnější menší průměr	$D_{H1} = 1\ 360 \text{ mm}$
délka pláště na tomto průměru	$L_{H2} = 400 \text{ mm}$
vnější větší průměr	$D_{H4} = 1\ 440 \text{ mm}$
délka pláště na tomto průměru	$L_{H4} = 120 \text{ mm}$
vnitřní průměr	$D_{H3} = 1\ 085 \text{ mm}$
délka vnitřního pláště	$L_{H3} = 520 \text{ mm}$

Materiálem bude nerezavějící ocel 17246.1 z důvodů vysoké edelnosti a pevnosti.

Podtlak  $p = 0,1 \text{ MPa}$

Rozměry heliové nádoby, tím ale i samozřejmě rozměry nádoby dusíkové a vnější, jsou závislé na rozměrech supravedivého magnetu, který dodá n. p. Škoda Plzeň. Jeho vnější průměr bude 1 300 mm, délka 300 mm.

#### A) Výpočet vnitřního pláště

Plášť bude zkoumán na vnější přetlak 0,1 MPa.

Tloušťka pláště:  $s_{PH3} = s_{oH3} + c$

Výpočet tloušťky pláště z hlediska pevnostního

$$s_{oH3} = \frac{p \cdot D_{H3}}{2 \zeta_D + p} = \frac{0,1 \cdot 10^6 \cdot 1,085}{(2 \cdot 153,3 + 0,1) \cdot 10^6} = 3,54 \cdot 10^{-4} \text{ m}$$

$$\text{když } \zeta_D = \frac{\zeta_{kt}}{x} = \frac{230}{1,5} = 153,3 \text{ MPa}$$

$x$  je míra bezpečnosti, dle normy je  $x = 1,5$ .

Z hlediska stability

$$A = \frac{p \cdot 10^6}{E} = \frac{0,1 \cdot 10^{12}}{2,1 \cdot 10^{11}} = 0,476$$

$$\frac{L_{H3}}{D_{H3}} = \frac{520}{1085} = 0,479$$

Z těchto hodnot je normou určeno  $s_{oH3} = 0,0025 \cdot D_{H3}$

$$s_{oH3} = 0,0025 \cdot 1085 = 2,71 \text{ mm.}$$

### B) Výpočet vnějšího pláště

Pláště bude zkoumán na vnější přetlak 0,1 MPa.

#### I) Menší průměr

pevnostní hledisko

$$s_{oH1} = \frac{p \cdot D_{H1}}{2 \zeta_D + p} = \frac{0,1 \cdot 10^6 \cdot 1,36}{2 \cdot 153,3 \cdot 10^6 + 0,1 \cdot 10^6} = 4,43 \cdot 10^{-4} \text{ m}$$

hledisko stability

$$\frac{L_{H1}}{D_{H1}} = \frac{400}{1360} = 0,294$$

$$A = \frac{p \cdot 10^6}{E} = \frac{0,1 \cdot 10^{12}}{2,1 \cdot 10^{11}} = 0,476$$

Dle těchto hodnot je

$$S_{0H_1} = 0,0025 \quad D_{H_1} = 0,0025 \cdot 1360 = 3,4 \text{ mm.}$$

## II) větší průměr

pevnostní hledisko

$$S_{0H_1} = \frac{p \cdot D_{H_1}}{2G_p + p} = \frac{0,1 \cdot 10^6 \cdot 1,44}{2 \cdot 153,3 \cdot 10^6 + 0,1 \cdot 10^6} = \\ = 4,7 \cdot 10^{-4} \text{ mm}$$

hledisko stability

$$A = \frac{p \cdot 10^6}{E} = \frac{0,1 \cdot 10^{12}}{2,1 \cdot 10^{11}} = 0,476$$

$$\frac{L_{H_1}}{D_{H_1}} = \frac{120}{1440} = 0,0833$$

Dle těchto hodnot je

$$S_{0H_1} = 0,0015 \quad D_{H_1} = 0,0015 \cdot 1440 = 2,16 \text{ mm.}$$

Z konstrukčních důvodů je volena tloušťka pláštů  
(vnitřního i vnějšího)  $S_{ph} = 4 \text{ mm.}$

### 3.1.2 Výpočet vík

#### Víko kryostatu

Toto víko je voleno z hliníkové slitiny 424432.9 svařované z plechů. Svary budou provedeny v ochranné atmosféře. Ve víku budou otvory, jejich uvažování je nutné pro výpočet tloušťky stěny.

Otvary pro úchyty	6 x Ø	60 mm
Otvary pro výstup a vstup dusíku	3 x Ø	45 mm
Otvor pro přived proudu a hel.krdla	Ø	290 mm
Otvor pro trubku pracovního prostoru	Ø	1020 mm

Výpočet tloušťky stěny víka vychází z membránové teorie, opravené na ohybové namáhání součinitelem  $\beta$ . Pro hledisko stability, při vnějším přetlaku, byl určen vztah ze stabilitní teorie velkých průhybů a ověřen měřením. Víko má vnější průměr  $D_K = 1800 \text{ mm}$ , výšku 280 mm. Zkoušeno bude vnitřním podtlakem, tj. vnějším přetlakem  $p = 0,1 \text{ MPa}$ .

### Výpočet tloušťky stěny

Z pevnostního hlediska

$$s_{sk} = \frac{D_K \cdot p \cdot \beta}{4 \cdot \sigma_p} + 0,003 = \frac{180 \cdot 0,1 \cdot 10^6}{4 \cdot 104 \cdot 10^6} + 0,003 = \\ = 0,0038 \text{ m}$$

když součinitel tvaru víka  $\beta = 2$

$$\sigma_p = \frac{\sigma_{pl}}{x} = \frac{500}{4,8} = 104 \text{ MPa}$$

součinitel bezpečnosti  $x = 4,8$ .

Ze stabilního hlediska

Kuželová stěna víka se počítá jako válec s vnějším přetlakem o průměru

$$D_{K1} = \frac{D_K}{\cos \varphi} = \frac{1800}{\cos 45^\circ} = 2546 \text{ mm}$$

a délce

$$L_{K1} = 1,25 H_K = 1,25 \cdot 220 = 275 \text{ mm}$$

$$\frac{L_{K1}}{D_{K1}} = \frac{275}{2546} = 0,11$$

$$A = \frac{p \cdot 10^6}{E} = \frac{0,1 \cdot 10^6}{0,71 \cdot 10^{11}} = 1,408$$

Pro tyto hodnoty je

$$S_{OK} = 0,0022 \cdot D_{K1} = 0,0022 \cdot 2546 = 5,6 \text{ mm.}$$

Je nutno ale ještě přihlédnout na otvory ve víku.

$$\sum d = 6 \cdot 60 + 3 \cdot 45 + 290 + 1020 = 1645 \text{ mm}$$

$$\frac{\sum d}{D_{K1}} = 0,803$$

tomu odpovídá korekční součinitel  $\gamma_1 = 1,8$

$$S'_{OK} = S_{OK} \cdot \gamma_1 = 5,6 \cdot 1,8 = 10,08 \text{ mm}$$

Z důvodu, že toto víko kryostatu je svařované, vystavené vlivům povětrnosti a eventuálně i povrch znečištěn kaolinem, přičemž zachycuje i určité síly od úchytů, je volena tloušťka stěny víka  $s_{PK} = 20 \text{ mm.}$

#### Dno kryostatu

Je voleno z hliníkové slitiny Al-Mn 424432.9, k pláštěti je přivařeno. Výpočet kruhových vík vychází z teorie kruhové desky. Dno má 1 centrický otvor o průměru 1020 mm a 6 kuželových otvorů ø 70 mm. Průměr dna je 1720 mm, zkoušeno bude tlakem  $p = 0,1 \text{ MPa.}$

$$\frac{\sum d}{D_D} = \frac{1440}{1720} = 0,83 \quad \text{korekční součinitel } \gamma_1 = 1,3$$

Konstrukční součinitel  $c_3 = 0,5$

Tlušťka dna  $S_D = S_{VD} + c_3$ ; s ohledem na otvory  $S_{VD} = \gamma_1 \cdot S_{OD}$

$$s_{VD} = c_3 \cdot \gamma_1 \cdot D_D \cdot \sqrt{\frac{p}{\sigma_D}} = 0,5 \cdot 1,3 \cdot 1,72 \cdot \sqrt{\frac{0,1 \cdot 10^6}{104 \cdot 10^6}} = \\ = 0,0298 \text{ m}$$

Tlušťka dna je volena 30 mm.

#### Víko heliové nádoby

Toto víko je z nerezavějící oceli (17246.1), k pláštěti z téhož materiálu je přivařeno. Výpočet opět vychází

z teorie kruhové desky.

Víko má centrický otvor o průměru 1 050 mm.

Průměr víka je 1 430 mm, další excentrický otvor má průměr 140 mm. Tlak je 0,1 MPa.

Nejmenší tloušťka víka:  $s_x = s_{vx} + c$

Otvory ve víku:  $\Sigma d = 1 050 + 140 = 1 190 \text{ mm}$

$$\frac{\Sigma d}{D_x} = \frac{1 190}{1 430} = 0,832$$

Temu odpovídá korekční součinitel  $\gamma = 1,65$

Konstrukční součinitel  $c_3 = 0,5$

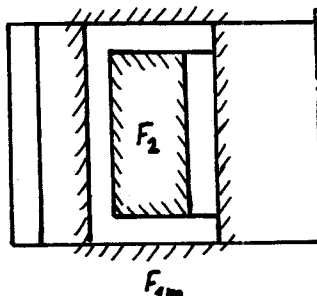
$$s_{vx} = c_3 \cdot \gamma \cdot D_x \cdot \sqrt{\frac{P}{G_p}} = 0,5 \cdot 1,65 \cdot 1,43 \cdot \sqrt{\frac{0,1 \cdot 10^6}{153,3 \cdot 10^9}} = \\ = 3,01 \cdot 10^{-2} \text{ m}$$

Tloušťka víka heliové nádoby je zvolena 32 mm.

### 3.2 Tepelný výpočet kryostatu

#### 3.2.1 Tepelný výpočet heliové nádoby

##### 1) Sáléním



$F_{1m}$

Plocha  $F_{1m}$  - dusíková nádoba:

$$F_{1m} = \pi (1,49 \cdot 0,55 + 1,05 \cdot 0,55 + \frac{1,43^2 - 1,05^2}{2}) = \\ = 6,14 \text{ m}^2$$

Plocha  $F_2$  - heliová nádoba:

$$F_2 = \pi / 1,085 \cdot 0,52 + 1,36 \cdot 0,4 + 1,44 \cdot 0,12 + \\ + \frac{1,36^2 + 1,44^2 - 2,35^2}{4} = 5,26 \text{ m}^2$$

Dekonale černé těleso vyzáří energii:

$$E_o = C_o \cdot \left(\frac{T}{100}\right)^4 \quad (\text{W} \cdot \text{m}^{-2})$$

$C_o$  ... součinitel sálání dekonale černého tělesa

$$C_o = 5,7 \quad (\text{W m}^{-2} \text{ K}^4)$$

Při reálném, nečerném tělesu je vyzářená energie

$$E_r = \epsilon \cdot E_o = C_r \cdot \left(\frac{T}{100}\right)^4 \quad (\text{W} \cdot \text{m}^{-2})$$

$\epsilon$  = poměrná sálavost;

pro leštěný hliník je 0,018 při 76 K =  $\epsilon_1$

pro leštěný nerez je 0,048 při 4 K =  $\epsilon_2$

Součinitel vzájemného sálání

$$C_{1,2} = \frac{C_o}{\frac{1}{\epsilon_1} + \frac{F_{1,2}}{F_2} \left( \frac{1}{\epsilon_2} - 1 \right)} = \frac{5,7}{\frac{1}{0,048} + \frac{6,12}{5,26} \left( \frac{1}{0,018} - 1 \right)} = \\ = 0,084 \quad (\text{W} \cdot \text{m}^{-2} \cdot \text{K}^{-4})$$

Teplo, vysálané z dusíkové nádoby na heliovou:

$$Q_{1,2} = C_{1,2} \cdot F_1 \cdot \left[ \left(\frac{T_g}{100}\right)^4 - \left(\frac{T_{He}}{100}\right)^4 \right] = 0,084 \cdot 6,14 \cdot \\ \cdot \left[ \left(\frac{77}{100}\right)^4 - \left(\frac{4,2}{100}\right)^4 \right] = 0,175 \text{ W}$$

Bez použití stínění by toto teplo bylo:

$$Q_{1,2} = 0,0843 \cdot 6,14 \cdot \left[ \left(\frac{293}{100}\right)^4 - \left(\frac{4,2}{100}\right)^4 \right] = 32,6 \text{ W}$$

Toto teplo je v porovnání s teplem vysálaným stínící nádobou s kapalným dusíkem značné, odpařilo by 45 l kapalného helia, což je mnoho. Z téhoto důvodu je zřejmá důležitost stínění teplotou kapalného dusíku, který je výrobně podstatně levnější než kapalné helium.

## 2) Přívody proudu

Výpočet tepla, dodaného heliové nádobě přívody proudu, je značně komplikovaný a výsledky bývají obvykle nepřesné. Proto je lépe navrhované přívody vyzkoušet přímo laboratorně. Přívody proudu navrhované pro tento kryostat jsou vyráběny v n. p. Škoda Plzeň a mají při proudovém zatížení  $I = 500$  A dle laboratorních zkoušek v nejhorším případě přivést do heliové nádoby 4 W, dle sdělení pracovníků vývojového oddělní n. p. Škoda Plzeň.

## 3) Hrdlem

Při uvažování hrdla jež je ochlazováno odcházejícími parami, které mají teplotu téměř stejnou jako kapalné He, je přívod tepla hrdlem zanedbatelný.

## 4) Úchyty - vedení

Heliová nádoba je zavěšena na třech úchytach. Těmi je nesena na vnější nádobě. Úchyty jsou kotveny na dusíkovou tepletu, aby přívod tepla byl co nejmenší. Viz obr. 7.

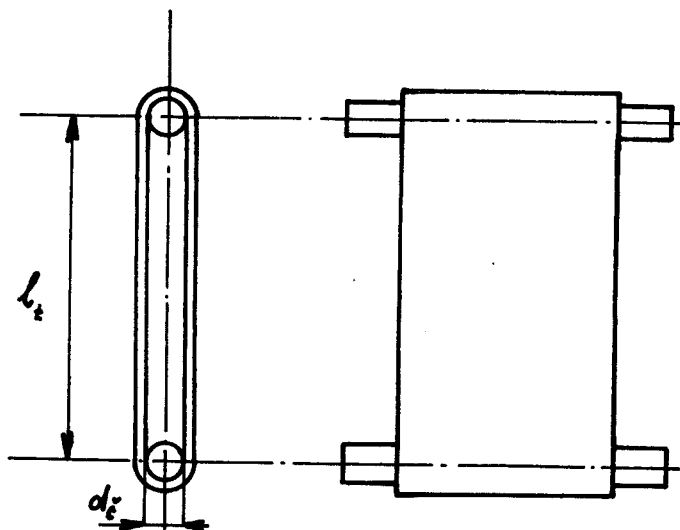
Úchyt se skládá z oka, vyrobeného ze sklolaminátu a dvou čepů (viz obr. 7). Sklolaminát je velen pro svoji malou tepelnou vodivost a velkou pevnost.

### Výpočet sklolaminátového oka

#### Pevnostní výpočet

$$\sigma_{p, t} = \frac{\sigma_s}{k} = \frac{200}{3} = 66,7 \text{ MPa}$$

když bezpečnost  $k$  je volena  $k = 3$ .



obr. 7

Úchyt je zatižen silou způsobenou tíhou nádoby,  
supravodivého vinutí a náplní kapalného helia.

Heliová náplň:

objem náplně je  $V_{He} = 0,147 \text{ m}^3$ ;  $\rho_{He} = 125 \text{ kg} \cdot \text{m}^{-3}$

hmotnost helia  $m_{He} = V_{He} \cdot \rho_{He} = 0,147 \cdot 125 = 18,375 \text{ kg}$

tíha helia  $G_{He} = m_{He} \cdot g = 18,375 \cdot 9,81 = 179,9 \text{ N}$

Heliová nádoba:

skládá se ze dvou vík, pláště, hrdla. Nádoba je celonerezová, hustota tohoto materiálu je  $7\ 800 \text{ kg} \cdot \text{m}^{-3}$ . Tíha celé nádoba je  $8\ 867 \text{ N}$ .

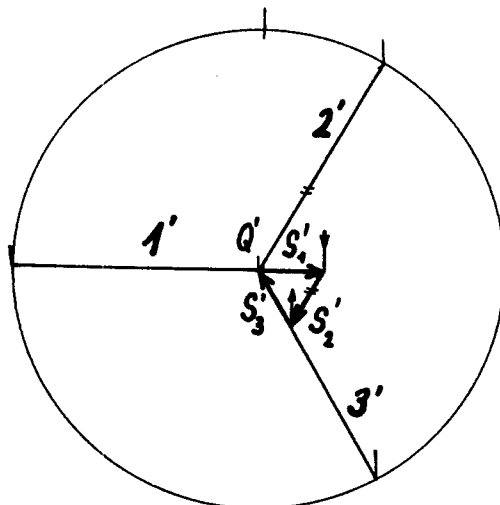
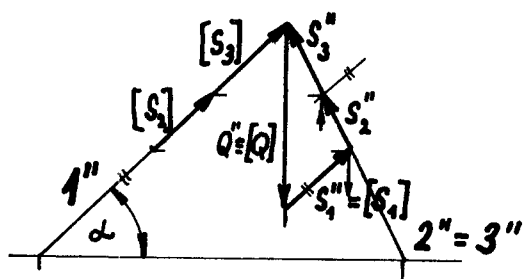
Supravodivé vinutí:

je tvořeno válcovým mezikružím, tvoří je feromagnetický obvod a supravodiče. Jeho celková tíha je  $9\ 040 \text{ N}$ .

Celkové tíha, která bude přenášena na úchyty, tedy bude

$$G_{celk} = G_{He} + G_{nád} + G_{vín} = 179,9 + 8\ 867 + 9\ 040 = 18\ 087 \text{ N}$$

Protože je předpoklad, že hmota je rozložena souměrně, bude zatížení všech tří úchytů stejné. Řešení sil v úchytích je možno převést na řešení kozlíku se třemi pruty, metodou neurčitého měřítka zjistíme poměr sil v jednotlivých prutech (úchyttech) - viz obr. 8.



obr. 8

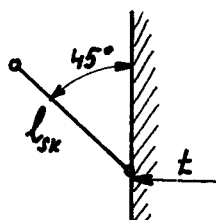
Úhel  $\alpha$  je volen  $45^\circ$ .

Síla, která bude v jednom oku, je tedy

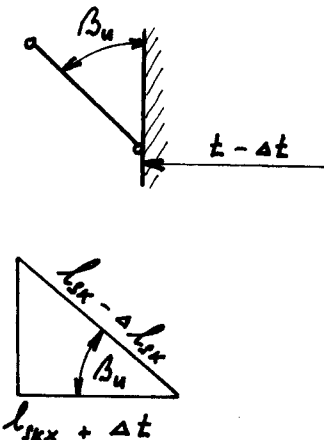
$$F = \frac{G_{vhk}}{3 \cdot \sin 45^\circ} = \frac{18\ 087}{3 \cdot \sin 45^\circ} = 8\ 522 \text{ N}$$

Po ochlazení se ale geometrické poměry změní vlivem dilatací. Táhlo (eko) se zkrátí, průměr nádoby se zmenší (viz obr. 9).

Před dilataci' :



Po dilataci' :



obr. 9

Pro sklotextit je součinitel tepelné roztažnosti z 300 na 77 K

$$\alpha_{sk} = \frac{\Delta l}{l_0} = 9,8 \cdot 10^{-4}$$

pro nerez je součinitel tepelné roztažnosti z 300 na 4 K

$$\alpha_n = \frac{\Delta l}{l_0} = 3,04 \cdot 10^{-3}$$

Změny rozměrů tedy budou:

$$\Delta l_{sk} = \alpha_{sk} \cdot l_{sk} = 9,8 \cdot 10^{-4} \cdot 320 = 0,3136 \text{ mm}$$

$$\Delta t = \alpha_n \cdot t = 3,04 \cdot 10^{-3} \cdot 660 = 2,0064 \text{ mm}$$

$$l_{skx} = l_{sk} \cdot \cos 45^\circ = 320 \cdot \cos 45^\circ = 226 \text{ mm}$$

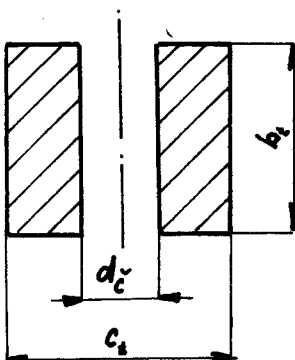
$$\beta_u = \arccos \frac{l_{skx} + \Delta t}{l_{sk} - \Delta t} = \arccos \frac{226 + 2,0064}{320 - 0,3136} = \\ = 44^\circ 30' 10''$$

Vlivem dilatací tedy nastane změna úhlu tálka o necelých  $30'$ , která je při dalším pevnostním výpočtu zanedbatelná.

Táhle (eko) je namáhané na tah:

$$\sigma_t = \frac{F}{S} \leq \sigma_{Dov,t} \Rightarrow S = \frac{F}{\sigma_{Dov,t}} = \frac{8522}{65,7 \cdot 10^6} = 1,278 \cdot 10^{-4} \text{ m}$$

Průřez táhla:



obr. 10

Dle obr. 10 jsou veleny rozměry  $d_t = 20 \text{ mm}$   
 $c_t = 30 \text{ mm}$   
 $b_t = 40 \text{ mm}$

Průřez táhla tedy je

$$S = b_t \cdot (c_t - d_t) = 40 \cdot (30 - 20) = 400 \text{ mm}^2 = \\ = 4 \cdot 10^{-4} \text{ m}^2$$

#### Tepelný výpočet

Úchyty jsou kotveny na dusíkovou tepletu, takže tepelný spád:

$$\Delta T_1 = T_0 - T_n = 300 - 77 = 223 \text{ K}$$

Seučinitel tepelné vodivosti  $\lambda_{sk} = 0,28 \text{ W} \cdot \text{m}^{-1} \cdot \text{K}^{-1}$

Teplo, přivedené úchytom (ekem):

$$Q_{u1} = \lambda_{sk} \cdot \frac{S}{l_{sk}} \cdot \Delta T_1 = 0,28 \cdot \frac{4 \cdot 10^{-4}}{0,32} \cdot 223 = 0,078 \text{ W}$$

Do heliové nádoby se třemi úchytym přivede teplo

$$Q_u = 3 \cdot Q_{u1} = 0,234 \text{ W.}$$

Výpočet a kontrola čepu :

Čep je namáhan na ohýb (viz obr. 11) - dle /6/ :

$$M_{o_{max}} = 8522 \cdot \frac{27,5}{55} 7,5 + \frac{40 \cdot 27,5}{55} = 106\ 525 \text{ Nm} = \\ = 106,525 \text{ Nm}$$

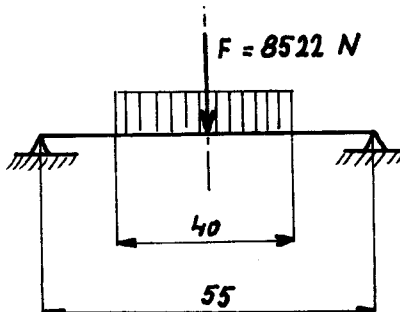
$$\sigma_o = \frac{M_o}{W_o} \leq \sigma_{Dov,o}$$

Pro daný materiál (17246.1) je  $\sigma_{Dov,o} = 200 \text{ MPa}$ .

Kruhový průřez má modul průřezu  $W_o = \frac{\pi d^3}{32}$

$$d = \sqrt[3]{\frac{32 \cdot M_o}{\pi \cdot \sigma_{Dov,o}}} = \sqrt[3]{\frac{32 \cdot 106,525}{\pi \cdot 200 \cdot 10}} = 0,0175 \text{ m}$$

Je zvolen čep o průměru  $d = 20 \text{ mm}$ .



Obr. 11

Kontrola na otlačení :

Dosedací plecha čepu v misce uložení je  $7 \cdot 10^{-4} \text{ m}^2$ .

$$\text{Tlak } p_{skut} = \frac{F}{S} = \frac{8\ 522}{7 \cdot 10^{-4}} = 12\ 174\ 286 \text{ Pa} \approx 12,2 \text{ MPa}$$

Čep na otlačení vyhovuje, protože  $p_{svr} = 60 \text{ MPa} > p_{skut}$ .

### 5) Vedením zbytkovým plynem

Povrch heliové nádoby je  $F_2 = 5,26 \text{ m}^2$ .

Povrch sálající dusíkové nádoby je  $F_{1m} = 6,12 \text{ m}^2$ .

Koefficient akomodace vnitřního povrchu pro vzduch  
při  $T_{He}$  :  $\alpha_s = 1$

Koefficient akomodace vnějšího povrchu pro vzduch

při  $T_N$  :  $\alpha_1 = 1$ ;  $\Delta T_1 = T_N - T_{He} = 77,4 - 4,2 = 73,2 \text{ K}$

poměr specifických tepel pro vzduch  $\lambda = \frac{c_p}{c_v} = 1,4$

Molekulová váha pro vzduch  $M_m = 28,96$

Tlak měřený manometrem při teplotě  $T_o = 300 \text{ K}$ :  $p = 1 \cdot 10^{-4} \text{ MPa}$

Konstanta 18 196,546 obsahuje převod koeficientů.

$$Q_s = 18 196,546 \cdot \frac{\alpha_1 \cdot \alpha_2}{\alpha_2 + \alpha_1 (1 - \alpha_2)} \cdot \frac{\lambda + 1}{\lambda - 1} \cdot \frac{F_2}{F_{1m}} \cdot \frac{1 \cdot 1}{1 + 1 (1 - 1) \frac{5,26}{6,14}} \cdot \frac{1,4 + 1}{1,4 - 1} \cdot \frac{5,26 \cdot 10}{28,96 \cdot 300} \cdot 73,2 = 4,51 \cdot 10^5 \text{ W}$$

#### 6) Vedení teplotními čidly

Bude využito z 40 měřicích přívodů Cu Ø 0,2 mm.

Budou te čidla hladiny a topné odpory. Tři vývody budou lankem Ag 0,14 mm a teflonovou izolací pro ochranu supravodivé cívky. Celkový průřez vodičů je  $S_v = 1,6 \text{ mm}^2$ , délka  $l_v = 1,3 \text{ m}$ . Je-li uvažována střední tepelná vodivost  $\lambda_v = 800 \text{ W} \cdot \text{m}^{-1} \cdot \text{K}^{-1}$ , bude

$$Q_M = \lambda_v \cdot \frac{S_v}{l_v} \cdot \Delta T_1 = 800 \cdot \frac{1,6 \cdot 10^{-6}}{1,3} \cdot 289 = 0,29 \text{ W}$$

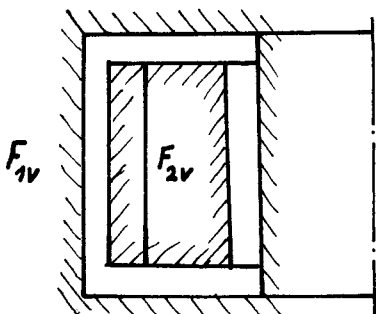
#### Celkové ztráty na kapalném heliu

$$\begin{aligned} Q &= Q_{f2} + Q_p + Q_u + Q_s + Q_M \\ &= 0,175 + 4 + 0,234 + 4,5 \cdot 10^5 + 0,29 = 4,699 \text{ W} \end{aligned}$$

Celkové ztráty na kapalném heliu budou za hodinu 0,822 kg, tj. 6,58 l.

### 3.2.2 Tepelný výpočet dusíkové nádoby

#### 1) Sáláním



Plocha  $F_{1v}$  - vnější nádoba

$$F_{1v} = \pi (1,72 \cdot 0,6 + 1,02 \cdot 0,6 + \frac{1,72^2 - 1,02^2}{2}) = \\ = 8,18 \text{ m}^2$$

Plocha  $F_{2v}$  - dusíková nádoba

$$F_{2v} = \pi (1,63 \cdot 0,55 + 1,05 \cdot 0,55 + \frac{1,63^2 - 1,05^2}{2}) = \\ = 7,07 \text{ m}^2$$

Poměrná sálavost

pro leštěný hliník při 77 K je  $\epsilon_2 = 0,018$

při 300 K je  $\epsilon_1 = 0,030$

Součinitel vzájemného sálání

$$C_{1,2} = \frac{C_0}{\frac{1}{\epsilon_1} + \frac{1}{\epsilon_2} \left( \frac{1}{T_1} - 1 \right)} = \frac{5,7}{\frac{1}{0,03} + \frac{8,18}{7,07} \left( \frac{1}{0,018} - 1 \right)} = \\ = 0,068 \text{ W} \cdot \text{m}^{-2} \cdot \text{K}^{-4}$$

Teplo, vysálané z vnější nádoby na dusíkovou

$$Q_{12} = C_{1,2} \cdot F_{1v} \cdot \left[ \left( \frac{T_1}{100} \right)^4 - \left( \frac{T_2}{100} \right)^4 \right] = 0,068 \cdot 8,18 \cdot \\ \cdot \left[ \left( \frac{293}{100} \right)^4 - \left( \frac{77}{100} \right)^4 \right] = 40,800 \text{ W}$$

Tyto ztráty jsou příliš velké, proto je pouhé vy-leštění ploch nedostačující.

Pro tento druh tepelného izolování je vhodné použít superizolace. Je to polyetylen-terafthalová folie oboustranně napářená kliníkem. Tloušťka jedné takové vrstvy je  $12\mu\text{m}$ , superizolace bude sestána z 20 vrstev. Tato superizolace propustí tepelný tok  $i = 2 \text{ W} \cdot \text{m}^{-2}$ .

Do superizolace bude obalena celá dusíková nádoba, tj.  $8,18 \text{ m}^2$  plochy. Teplota, které superizolaci projde je

$$Q_s = F_{1v} \cdot i = 8,18 \cdot 2 = 16,36 \text{ W}$$

Tyto ztráty jsou také velké. V porovnání s přestupem tepla sáláním vyleštěných plech je ale možno brát je jako vyhovující, kapalný dusík je mnohem levnější než kapalné helium.

## 2) Vedením zbytkovým plynem

Povrch dusíkové nádoby je  $F_{1v} = 7,07 \text{ m}^2$

Povrch sálající vnější nádoby je  $F_{1v} = 8,18 \text{ m}^2$

Koefficient akomodace vnějšího povrchu pro vzduch při  $T_0 = 293 \text{ K}$   $\alpha_1 = 0,85$

Koefficient akomodace vnitřního povrchu pro vzduch při  $T = 77 \text{ K}$   $\alpha_1 = 1$ ;  $\Delta T = T_0 - T_N = 293 - 77 = 216 \text{ K}$

Poměr specifických tepel pro vzduch  $\gamma = 1,4$ .

Molekulová váha vzduchu  $M_m = 28,96$ .

Tlak měřený manometrem při teplotě  $T = 300 \text{ K}$ :  $p = 1 \cdot 10^{-10} \text{ MPa}$ .

Konstanta 18 196,546 obsahuje převod koeficientů.

$$Q_E = 18\ 196,546 \cdot \frac{\alpha_1 \cdot \alpha_2}{\alpha_1 + \alpha_2 (1-\alpha_2)} \frac{F_{2v}}{F_{av}} \cdot \frac{2t + 1}{2t - 1} \cdot$$

$$\cdot \frac{F_{av} \cdot p}{\sqrt{M_m \cdot T_0}} \cdot \alpha_T = 18\ 196,546 \cdot \frac{1 \cdot 0,85}{0,85 + 1 (1-0,85) \frac{7,07}{8,18}}$$

$$\cdot \frac{2,4}{0,4} \cdot \frac{7,07 \cdot 1 \cdot 10^{-4}}{\sqrt{28,96 \cdot 300}} \cdot 216 = 1,55 \cdot 10^{-4} \text{ W}$$

### 3) Vedením úchyty

Dusíková nádoba je zavěšena na třech úchyttech, kterými je nesena na vnější nádobě. Úhyt se skládá z oka, vyrobeného ze skloleaminátu a dvou čepů (viz obr. 7). Skloleaminát je volen pro svou malou tepelnou vodivost a velkou pevnost.

#### Výpočet skloleaminátového oka

Pevnostní výpočet

$$\sigma_{s,ok} = \frac{\sigma_{p,t}}{k} = \frac{200}{3} = 66,7 \text{ MPa, když bezpečnost } k = 3.$$

Úhyt je zatížen silou, způsobenou tíhou nádoby a náplní kapalného dusíku.

Dusíková náplň:

$$\text{objem náplně je } V_N = 0,189 \text{ m}^3; \rho_N = 808 \text{ kg} \cdot \text{m}^{-3}.$$

$$\text{hmotnost dusíku } m_N = V_N \cdot \rho_N = 0,189 \cdot 808 =$$

$$= 148,232 \text{ kg}$$

$$\text{těha dusíku } G_N = m_N \cdot g = 148,232 \cdot 9,81 = 1\ 498,1 \text{ N}$$

Dusíková nádoba:

skládá se ze dvou vík, pláště, hrdel. Je svařovaná z hliníku, hustota tohoto materiálu je  $2\ 700 \text{ kg} \cdot \text{m}^{-3}$ .  
Těha celé nádoby je  $G_{nad} = 4\ 821 \text{ N}$ .

Celková těha, která bude přenášena na úchyt, tedy

bude

$$G_{\text{celk}} = G_N + G_{\text{nad}} = 1498,1 + 4821 = 6319,1 \text{ N}$$

Protože je možné předpokládat, že hmota je rozložena souměrně, bude zatížení všech tří úchytů stejné. Řešení sil v úchytích je možno převést (stejně jako u heliové nádoby) na řešení kozlíku se třemi pruty, metodu neurčitého měřítka se zjistí poměr sil v jednotlivých prutech (úchytach) viz obr. 8.

Úhel  $\alpha$  je volen  $45^\circ$ .

Sila, která bude v jednom oku, je tedy

$$F = \frac{G_{\text{celk}}}{3 \cdot \sin \alpha} = \frac{6319,1}{3 \cdot \sin 45^\circ} = 2978,8 \text{ N}$$

Táhlo (oko) je namáhané na tah.

$$\sigma_t = \frac{F}{S} \leq \sigma_{\text{dov},t} ; \Rightarrow S \geq \frac{F}{\sigma_{\text{dov},t}} = \frac{2978,8}{65,7 \cdot 10^5} = 4,47 \cdot 10^{-5} \text{ m}^2$$

Průřez táhla: dle obr. 10 jsou voleny rozměry

$$d_t = 15 \text{ mm}$$

$$c_t = 25 \text{ mm}$$

$$b_t = 30 \text{ mm}$$

Skutečný průřez táhla je tedy

$$S = b_t \cdot (c_t - d_t) = 30 (25 - 15) = 300 \text{ mm}^2 = 3 \cdot 10^{-4} \text{ m}^2$$

### Tepelný výpočet

Tepelný spád na úchytach:

$$\Delta T_1 = T_o - T_u = 300 - 77 = 223 \text{ K}$$

Součinitel tepelné vedenosti:

$$\lambda_{jk} = 0,28 \text{ W} \cdot \text{m}^{-1} \cdot \text{K}^{-1}$$

Teple, přivedené úchytom (okem):

$$Q_{u1} = \lambda_{jk} \cdot \frac{S}{l_u} \cdot \Delta T_1 = 0,28 \cdot \frac{3 \cdot 10^{-4}}{0,28} \cdot 223 = 0,0669 \text{ W}$$

Do dusíkové nádoby se třemi úchty přivede teple

$$Q_u = 3 \cdot Q_{u1} = 0,2007 \text{ W.}$$

### Výpočet a kontrola čepu

Čep je namáhan na ohýb (viz obr. 12)

$$M_{\text{max}} = 2978,8 \cdot \frac{22,5}{45} 7,5 + \frac{30 \cdot 22,5}{45} = 25560 \text{ Nmm} = 25,56 \text{ NM}$$

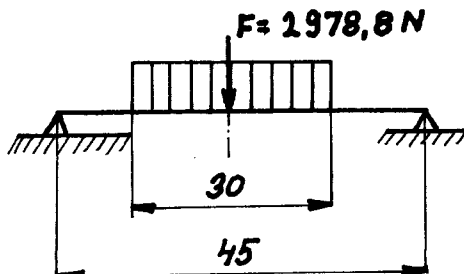
$$\sigma_s = \frac{M_s}{W_s} \leq \sigma_{\text{Dov},o}$$

Pro daný materiál (17246.1) je  $\sigma_{\text{Dov},o} = 200 \text{ MPa}$ .

Průměr čepu

$$d = \sqrt[3]{\frac{32 M_s}{\pi \cdot \sigma_{\text{Dov},o}}} = \sqrt[3]{\frac{32 \cdot 25,56}{\pi \cdot 200 \cdot 10^6}} = 0,011 \text{ m}$$

Je zvolen čep o průměru  $d = 20 \text{ mm}$ .



obr. 12

### Kontrola na otlačení

Dosedací plecha čepu v misce uložení je  $5,25 \times 10^{-4} \text{ m}$

$$\text{Tlak } p_{\text{st},s} = \frac{F}{S} = \frac{2978,8}{5,25 \cdot 10^{-4}} = 5673905 \text{ Pa} \approx 5,7 \text{ MPa.}$$

Čep na otlačení vyhovuje, protože  $p_{\text{st},s} = 5,7 \text{ MPa} < p_{\text{skut}} = 60 \text{ MPa}$ .

### 4) Vedením hrdlem

Hrdlo je zároveň chlazeno odcházejícími parami.

Z literatury (11) ale plyne, že ztráty budou menší, než 10 W, proto je možné je zanedbat a ohledem na velikost ztrát jiných.

### Celkové tepelné ztráty dusíkové nádoby

$$Q = Q_S + Q_Z + Q_u = 16,36 + 1,55 \cdot 10^{-4} + 0,20 = 16,56 \text{ W.}$$

Celkové ztráty na kapalném dusíku budou za hodinu 0,303 kg, tj. 0,38 l.

### 3.3 Doplňující výpočty

#### 3.3.1 Výpočet třecího momentu na úchytu

Při ustavování nádob se bude táhlo posuvat vlivem zasouvání šroubu. Ten se pohybuje v matici, která je utahována ručně. Matice má desedací plochu na třecí podložce z bronzu. Při utahování se musí překonat třecí moment na této ploše vznikající.

Proteže je heliová nádoba těžší než dusíková, je potřeba zkонтrolovat třecí moment vznikající při ustavování heliové nádoby. Poloměr třecího momentu  $r_t = 0,085 \text{ m}$ . Součinitel tření ocel - bronz je 0,05. Třecí moment:

$$M_t = F \cdot r_t \cdot f = 8522 \cdot 0,085 \cdot 0,05 = 36,22 \text{ Nm.}$$

Tento třecí moment lze ručně klíčem překonat.

#### 3.3.2 Výpočet závitu úchytu

Síla v táhlu se bude přenášet přes závit na výkovanější nádoby, proto je třeba zkонтrolovat závit na etlačení. Je volen závit M 125 x 4. Velký průměr závitu šroubu je  $d_z = 125 \text{ mm}$ , malý průměr závitu matice je  $D_z = 120,67 \text{ mm}$ . Dovolené tlaky dle (1) bývají 15 - 20 MPa.

Počítající je zkontrolovat závit úchytu heliové nádoby, který je při stejných rozměrech namáhan větší silou.

$$p = \frac{F}{\frac{\pi}{4} (d_1^2 - D_1^2)} \leq p; \text{ je voleno } p_{dov} = 10^7 \text{ Pa}$$

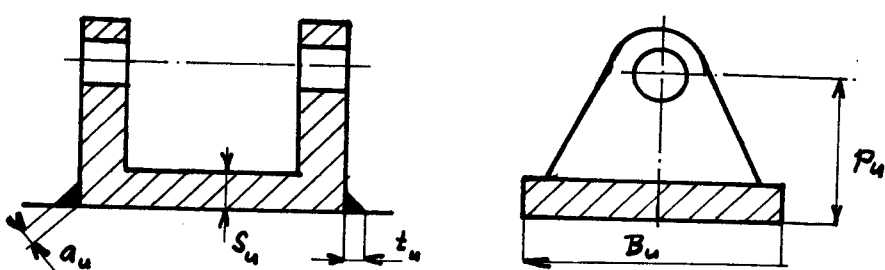
Potřebný počet závitů

$$i_z \geq \frac{F}{\frac{\pi}{4} (d_1^2 - D_1^2) p_{dov}} = \frac{8522}{\frac{\pi}{4} (0,125^2 - 0,12067^2) \cdot 10^7} = 1,019$$

Protože v konstrukčním řešení je  $i_z = 7$  závitů, závity na otlačení vyhovují.

### 3.3.3 Výpočet svaru úchytu

Čepy jsou na nádobě heliové i dusíkové zašroubovány do otverů ve výstupcích, přivařených k příslušejícímu víku. Svary bude tedy namáhaný na smyk a je třeba provést jejich pevnostní kontrolu. Opět je rozhodující kontrola u mnohem těžší heliové nádoby.



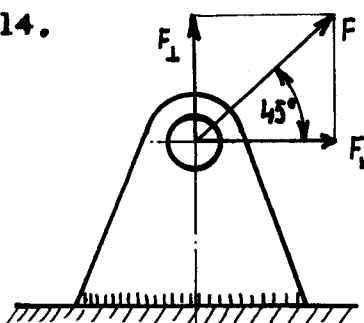
obr. 13

$$B_u = 60 \text{ mm}; a_u = 15 \text{ mm}; t_u = 10 \text{ mm}; a_u = 7 \text{ mm}; \\ p_u = 40 \text{ mm}.$$

Výpočet koutevitého svaru je prováděn v souladu s nor-

mou ČSN 05 0120. Bezpečnost svaru  $k = 2$ , materiál svaru má  $\sigma_{kt} = 300 \text{ MPa}$ . Rozměry a silové poměry viz obr.

13, 14.



obr. 14

$$F = 8522 \text{ N}$$

$$F_1 = F_u = F \cdot \sin 45^\circ = 6026 \text{ N}$$

$$b_u = B_u - 2 \cdot s_u = 60 - 2 \cdot 15 = 30 \text{ mm}$$

Revnoběžné smykové napětí:

$$\tau_u = \frac{F_u}{2 \cdot s_u \cdot b_u} = \frac{6026}{2 \cdot 7 \cdot 10^{-3} \cdot 3 \cdot 10^{-2}} = 14 \cdot 10^6 \text{ Pa} = \\ = 14 \text{ MPa}$$

Kolmé smykové napětí:

$$\tau_1 = \frac{F_1}{2 \cdot \frac{s_u}{\alpha_1} + 2 \cdot s_u \cdot b_u} = \frac{6026}{7 \cdot 10^{-3} \cdot (0,04 + 3)} + \\ + \frac{6026}{2 \cdot 7 \cdot 10^{-3} \cdot 3 \cdot 10^{-2}} = 1,28 \cdot 10^8 \text{ Pa} = 128 \text{ MPa}$$

Srovnávací napětí:

$$\tau_s = \sqrt{\left(\frac{\tau_1}{\alpha_1}\right)^2 + \left(\frac{\tau_u}{\alpha_u}\right)^2} \leq \beta_{sv} \frac{\sigma_{kt}}{k}$$

$$\text{Součinitel tloušťky koutevčekého svaru } \beta_{sv} = 1,3 - 0,03 t_u = \\ = 1,12$$

Převodní součinitely:  $\alpha_1 = 0,75$ ;  $\alpha_u = 0,65$ ;

$$\tau_s = \sqrt{\left(\frac{128}{0,75}\right)^2 + \left(\frac{14}{0,65}\right)^2} = 172 \text{ MPa};$$

$$\beta_{sv} \cdot \frac{\sigma_{kt}}{k} = 1,12 \cdot \frac{300}{1,3} = 224 \text{ MPa}$$

Srovnávací napětí je menší než povolené, takže svar vyhovuje.

### 3.4 Zabezpečení kryostatu proti možnosti havárie

Magnetické pole supravodivého vinutí představuje nahromadění značné energie, která by mohla při přechodu zařízení do normálního stavu ohrozit funkci zařízení, popřípadě způsobit destrukci. Je proto třeba stavy v zařízení sledovat a při překročení mezních hodnot vydělat energii mimo prostor kryostatu.

Předpokládá se, že cívka supravodivého vinutí bude zhotevena z materiálu dostatečně kryostaticky stabilizovaného, tj. z materiálu, kde mimo supravodiče Nb - Ti bude ještě dostatečný průřez čisté mědi, který bude ve styku s kapalným heliumem. V případě přechodu některé části vinutí do odporového stavu bude schopen po snížení proudu obnovit supravodivý stav. Přesto však je třeba v případě potřeby umožnit vydělení energie na vnější odpor, kde se zmáří.

Možnost zvýšení tlaku v kryostatu při uvolnění určitého množství tepla

Uvažuje se krajní případ, kdy je výstup páry z kryostatu uzavřen a je přivedeno určité množství tepla. Objem kryostatu zaujímá vreucí helium -  $V'$ , zbytek pak heliové páry pod tlakem 0,1 MPa -  $V''$ . Přivedením tepla vzroste teplota i tlak v nádobě, jedná se o změnu isochorickou.

Při výpočtu se postupuje tak, že se ke zvolené teplotě a tlaku najde potřebné množství tepla.

Střední měrný objem dvojfázové směsi:

hmotnost vroucího helia

$$v' = 0,147 \text{ m}^3; v'' = 0,031 \text{ m}^3$$

$$v'_o = 7,99 \cdot 10^{-3} \text{ m}^3 \cdot \text{kg}^{-1}; v''_o = 60,6 \cdot 10^{-3} \text{ m}^3 \cdot \text{kg}^{-1}$$

$$M' = \frac{V'}{v'_o} = \frac{0,147}{7,99 \cdot 10^{-3}} = 18,40 \text{ kg}$$

hmotnost heliových par

$$M'' = \frac{V''}{v''_o} = \frac{0,031}{60,6 \cdot 10^{-3}} = 0,52 \text{ kg}$$

$$M = M' + M'' = 18,40 + 0,52 = 18,92 \text{ kg}$$

$$V_{H_2} = V' + V'' = 0,147 + 0,031 = 0,178 \text{ m}^3$$

$$v = \frac{V_{H_2}}{M} = \frac{0,178}{18,92} = 9,43 \cdot 10^{-3} \text{ m}^3 \cdot \text{kg}^{-1}$$

Suchest páry ve výchozím bode (viz obr. 15) bude

$$x_o = \frac{v - v'_o}{v'' - v'_o} = \frac{(9,43 - 7,99) \cdot 10^{-3}}{(60,6 - 7,99) \cdot 10^{-3}} = 0,0273$$

Měrná tepelná energie směsi ve výchozím bode 0 bude

$$u_o = (1 - x_o) \cdot u'_o + x_o \cdot u''_o, \text{ kde } u'_o = i'_o - p_o \cdot v'_o \\ u''_o = i''_o - p_o \cdot v''_o$$

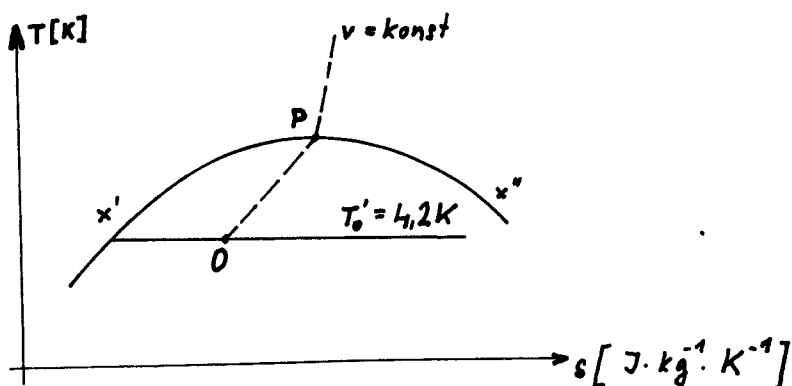
$$\text{Po úpravě lze psát, je-li } i'_o = 9,85 \cdot 10^3 \text{ J} \cdot \text{kg}^{-1}$$

$$i''_o = 30,79 \cdot 10^3 \text{ J} \cdot \text{kg}^{-1}$$

$$u_o = (1 - x_o) i'_o + x_o i''_o - p_o \cdot v = (1 - 0,0273) \cdot 9,85 \cdot 10^3 + \\ + 0,0273 \cdot 30,79 \cdot 10^3 - 0,1 - 10^6 \cdot 9,43 \cdot 10^{-3} = \\ = 11,36 \cdot 10^3 \text{ J} \cdot \text{kg}^{-1}$$

Dle interpolace z tabulek je běd přechodu dvojfázové směsi do jednofázového stavu ten, kde  $v = v'_p$  nebo  $v = v''_p$ . Pro

možnost určení jsou vyneseny průběhy měrného objemu  $v$ , tlaku  $p$  a entalpie  $i'$  vreucího helia v závislosti na teplotě v obr. 16.



obr. 15

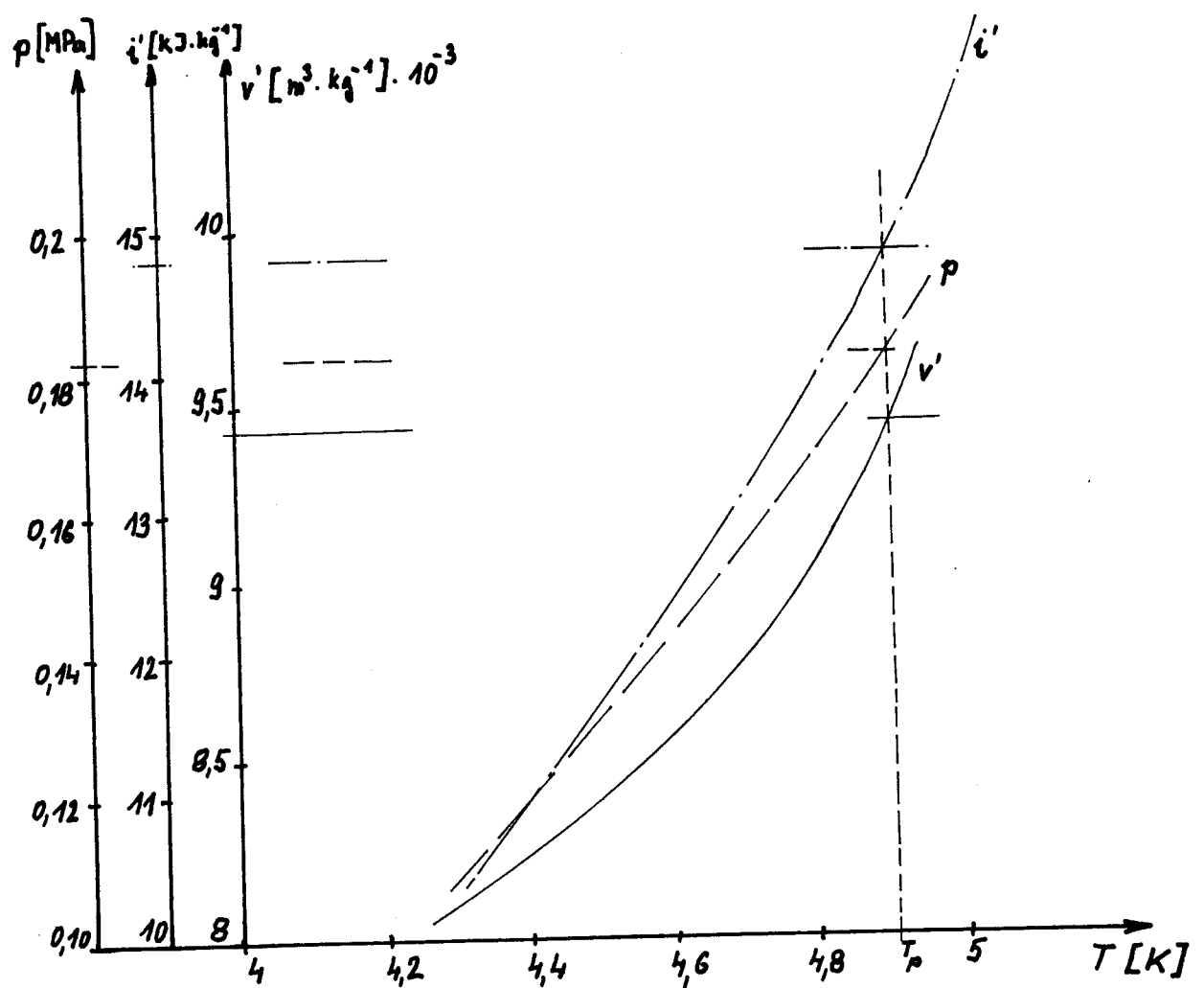
Teplota při niž  $v' = v = 9,43 \cdot 10^{-3} \text{ m}^3 \cdot \text{kg}^{-1}$ , je  $T_p = 4,90 \text{ K}$ ;  $p_p = 0,182 \text{ MPa}$ ;  $i'_p = 14,8 \text{ kJ} \cdot \text{kg}^{-1}$ .

Množství тепла potřebného na převedení 1 kg směsi z bodu 0 do bodu P bude

$$q_p = u_p - u_0, \text{ kde } u_p = i_p'' - p_p \cdot v'' \\ = 14,8 \cdot 10^3 - 0,182 \cdot 10^6 \cdot 9,43 \cdot 10^{-3} \\ = 13,09 \text{ kJ} \cdot \text{kg}^{-1}$$

$$q_p = 13,09 - 11,36 = 1,73 \text{ kJ} \cdot \text{kg}^{-1}$$

Je tedy nutné, aby se při havárii magnetického obvodu uvalnilo do lázně helia maximálně  $1,73 \text{ kJ} \cdot \text{kg}^{-1}$ , aby nestoupil tlak nad  $0,182 \text{ MPa}$ .



obr. 16

### 3.5 Technický popis navrhovaného kryostatu

Kryostat je složen ze tří nádob: heliové, kterou obklopuje dusíková a vnější, která obklopuje dusíkovou.

Heliová nádoba je svařena z nerezavějící oceli, je protencového tvaru. Je v ní supravodivý elektromagnetický obvod, ponorený v kapalném heliu. Nádoba se skládá z pláště a z vík. Dolní víko má tři slepé otvory se závitem pro šrouby, které jsou zašroubovány při transportu kryostatu z důvodu absolutní stability nádoby. Na pláště je pouzdro s aktivním uhlím, které pohlcuje vzduch, zlepšuje vakuum. Horní víko má přivařeny tři výstupky s otvory pro čepy. Ty slouží k zavěšení nádoby, k přenesení její tíhy na vnější nádobu. Dále je v horním víku otvor pro heliové hrdlo s přivedy proudu. Toto hrdlo je opatřeno vlnovcem, zachycujícím dilatace nádoby. Svary nádoby jsou vakuotěsné, uzpůsobené eventuálnímu rezebrání nádoby, které by bylo možné po jejich odbroušení.

Dusíková nádoba je svařena z hliníkové slitiny. Je též protencového tvaru, mezi vnějším a vnitřním pláštěm je kapalný dusík. K pláštové části jsou přišroubována víka, horní a dolní. Dolní víko má připevněné pouzdro s aktivním uhlím na absorbování vzduchu a šest otvorů se závitem. Při transportu se těmito otvory střídavě prostrčí tři šrouby pro stabilizaci heliové nádoby, a přišroubuji tři šrouby pro stabilizaci dusíkové nádoby. Po transportu se všechny šrouby vyšroubuju a do otvorů v dolním víku dusíkové nádo-

by se zašroubuji sklotextitové šrouby. Horní víko má přivárenou vnitřní stínici dusíkovou trubku, která je rozřezána na 24 dílů pedálnými řezy z důvodu zamezení účinků vřívých magnetických proudů. K hornímu víku jsou přivářeny tři výstupky s otvary pro čepy úchytů dusíkové nádoby. Také je k tomuto víku připevněno uchetvení dusíkové teploty sklolaminátových úchytů heliové nádoby. Tři dusíková hrdla jsou volena z důvodu rychlejšího plnění kapalným dusíkem a jsou také přivářena k hornímu víku dusíkové nádoby. Jsou opatřena vlnovci, zachycujícími tepelné dilatace této nádoby. Nádoba je z vnějšku celá obalena superizolací, vnitřní plocha je stejně jako vnější plocha nádoby heliové vyleštěna z důvodu co nejmenšího přestupu tepla.

Vnější nádoba je složena z pláště, horního víka a dolního víka. K dolnímu víku je přišroubováno dno, spojené s pedetavcem, které je z nerezavějící oceli. Dolní víko, vyrobené z hliníkové slitiny (stejně jako pláště a horní víko) má šest kuželových centrických otvorů. V nich je při transportu použito šest podložek - kroměkuželů - pod hlavy šroubů, které přitahují dusíkovou a heliovou nádobu. Po transportu jsou v těchto otvorech pouze kuželové vložky. K pláští je přivářena příruba pro křídlový vakueový ventil.

Horní víko je přišroubováno k pláště. Je k němu přivářena vnitřní trubka. Ta má ještě vložku z nerezavějící oceli, přišroubovanou k víku. Horní víko má také druhou část hrdel dusíkových a heliového s přivedy proudu. K víku jsou

přivařeny úchyty dusíkové a heliové nádoby. Úchyty mají sklen 45 k ose kryostatu a jsou střídavě (dusíkový - heliový). Vycentrování nádob je umožněno otáčením čepu, který z válcového tělesa vyčnívá.

Všechny svary vnější nádoby musí být provedeny vakuetsně, protože z ní je odčerpáván vzduch vývěrou. Pro případ náhlého stoupení vnitřního tlaku nad dovolenou hodnotu je na heliovém hrdle pojistná odčerpávací hlavice.

### 3.6 Zchlazování kryostatu

#### Způsob dodávky kapalného He

Kryostat bude zásobován chladicím médiem nepřetržitě. Odpar vzniklý tepelnými ztrátami se nahrazuje nepřetržitě chladící kapalinou. V případě použití zásobní nádoby s kapalným heliem je možné spojení nádoby s kryostatem krátkým potrubím a pomocí jednoduchého regulačního obvodu udržovat hladinu helia v požadované úrovni. Přelévání možno provádět mírným přetlakem do zásobní nádoby a z ní sifonem zavádět kapalné He do kryostatu.

Jako ekonomicky výhodnější se jeví refrigerační způsob chlazení. Trvale se bude do kryostatu přivádět větší množství kapalného He a z kryostatu se potom bude vracet směs kapaliny a páry při 4,2 K a pára o teplotě 300 K, která se bude oddebírat z elektrických přívodů, stlačovat a zavádět do refrigerátoru.

Uvažuje se také o užití nadkritického helia. Tento způsob má výhodu v ještě lepších poměrech přenosy tepla a výhodnějším režimu tlakových ztrát. Je však velmi náročný na regulaci a udržení požadovaných parametrů. Kritickému bodu helia přísluší tlak  $p_{K_c} = 0,24 \text{ MPa}$ , teplota  $T_{K_c} = 5,2 \text{ K}$  a měrná hmotnost  $\rho_{K_c} = 69,3 \text{ kg/m}^3$ .

#### Faktory ovlivňující zchlazování

Aby byla spotřeba kryogenní kapaliny při zchlazování co nejmenší, je třeba mít na zřeteli několik důležitých činitelů, z nichž některé lze přímo nebo nepřímo ovlivnit. Jedním z nich je doba zalévání. Ta je závislá na vhodnosti provedení vnitřních (chlazených) prostorů kryostatu. Protože je výparné teplo kryogenních látek, zejména pak helia velmi malé, jde při konstrukci o to, aby se co nejlépe využily chladící schopnosti par. Je proto dobré v některých případech použít vhodné přepážky a výplně nevyužitých prostorů, aby se páry helia co nejvíce stýkaly s povrchem dosud nevychlazené hmoty a neunikaly bez využití do hrudla kryostatu. Při delším zalévání kryogenní kapalinou se již do značné míry projevují tepelné ztráty kryostatu vedení v úchytech a vodičích, popř. sáláním atd.

#### Kontrola teploty uvnitř heliové nádoby

Pro kontrolu skutečné teploty v různých částech heliové nádoby bude umístěna teplotní čidla. Jedná se o kontrolu teploty u vtoku chladiva do heliové nádoby, vstupu par do hrudla, dále pak na nejvyšším a nejnižším místě feromagnetického obvodu. Nejdůležitějším místem bude kontrola teploty na nejvyšším místě vinutí. Dle potřeby je možno umístit ještě další čidla pro kontrolu prechladování atd. V ustáleném stavu probíhá v heliové nádobě a na supravedených vodičích bublinkový var, při teplotách  $4,2 \div 5 \text{ K}$ . Při tomto varu musí bublinky bezpečně odcházet a nesmí nikde dojít k hromadění plynu.

### Postup při zchlazování

Neuvažuje-li se refrigerační způsob, je výhodné užít postupného zchlazování. Provádí se tím způsobem, že celý "studený" prostor kryostatu včetně heliové nádoby se naplní postupně kapalným dusíkem, který jej zchladí na svéji teplotu varu při atmosférickém tlaku, to je 77,4 K. Když se teplotní poměry ustálí a dojde všude k ustálenému stavu, je možno započít s vytlačením kapalného dusíku z heliové nádoby. Odpařování dusíku teplými odpary se nedoporučuje, protože na 1 litr je třeba při výkenu 100 W asi 30 min. Vytlačení dusíku se může provést tak, že se heliová nádoba utěsní, dovnitř se vloží malé teplé tělesko, které způsobí zvýšení tlaku uvnitř nádoby a tím i přečerpání kapalného dusíku pomocí trubky pro přivedení kapalného helia, která je vyvedena na nejnižším místě nádoby. Po vytlačení celého obsahu je možno zbytek odparit teplým těleskem. Poslední zbytky dusíku je možno odsát rotační vývěrou. Nádoba musí být kapalného dusíku zbavena hlavně proto, že by mohlo dojít k znečištění heliové náplně, napřípadě k poškození vnitřního povrchu, kdyby tam zbylý dusík po přivedení kapalného helia zmrzl. Spolehlivě se můžeme o přítomnosti dusíku přesvědčit tím, že při odsávání klesá teplota uvnitř heliové nádoby. Toho se dá využít k dalšímu ochlazení, ale je třeba dbát, aby teplota neklesla pod 65 K, kdy by hrozilo zmrznutí dusíku. Jestliže je nádoba čistá, může se započít s doléváním helia a konečným zchlazením celého uvnitřku kryostatu.

### Možnost snížení spotřeby kryogenické kapaliny

Sniží-li se tlak nad hladinou kapalného dusíku, umožní se var při nižší teplotě a tím i hlubší ochlazení uvnitřku heliové nádoby. Je ale při tom nutno sledovat teploty uvnitř, aby se nepřekročila teplota 65 K, což by mohlo vést k dříve již uvedeným obtížím.

#### **4. ZÁVĚR**

Ve své diplomové práci jsem se snažil objasnit problémy, spojené s návrhem kryostatu supravodivého magnetu použitelného pro magnetický separátor linky na úpravu kaolinu. Toto zařízení patří do oblasti techniky, která je teprve ve vývoji a kryostat těchto parametrů je prvním, který je v ČSSR navržen. Proto musí mít nezbytně všechny nedostatky, které každou novou věc prevážejí. Na základě rezimuza zařízení, která jsou s navrženým systémem částečně příbuzná, jsem se snažil zvolit vhodné konstrukční prvky a spojit je s požadavky kladenými na tento kryostat.

Chtěl bych tímto poděkovat všem, kteří mi byli při řešení této diplomové práce nápomocni. Zejména to byli ing. St. Smrž z n. p. Ferex Děčín, ing. Vladimír Klebsa, CSc., členové katedry sklářských a keramických strojů, katedry částí strojů, katedry mechaniky, pružnosti a pevnosti z VŠST Liberec.

Protože se toto zařízení bude vyrábět v n. p. Ferex Děčín jako součást státního úkolu, doufám, že i moje práce pomůže při řešení tohoto náročného, ale zároveň i velmi zajímavého úkolu.

## 5. POUŽITÁ LITERATURA

- (1) Černech, S.: *Strojné technické příručka*, SNTL, 1968, Praha
- (2) Vrzal, B.: *Strojnické tabulky*, SNTL, 1971, Praha
- (3) Norma ČSN 690011, ŠNÚM, 1964, Praha
- (4) Enenkl, V.: *Termomechanika*, skripta VUT Brno, 1977
- (5) Koller, A.: *Základy technologie jemné keramiky*, skripta VŠST Liberec, 1971
- (6) Schmidt, Z.: *Technická příručka*, Práce, 1954, Praha
- (7) Debrevolný, B.: *Kapesní strojnická příručka*, SNTL, 1967, Praha
- (8) Šuma, J.: *Heliový kryostat pro supravodivý kvadrupél* urychlovače, diplomová práce, ČVUT Praha, 1976
- (9) *Kryogenika 78: Čeleštátna konferencia o technike nízkých teplôt*, sborník, Bratislava, 1978
- (10) *Přgnostický seminář: využití supravodivosti v magnetické separaci*, sborník, Praha, 1979
- (11) Scott, R. B.: *Cryogenic engineering*, Moskva, 1962
- (12) Malcov, M. P.: *Spravočník po fyziko-téchničeskim osnovam glubokove ochlažděnija*, Moskva, 1963
- (13) *Cryogenics - the international journal of low temperature engineering and research - November 1978*
- (14) Oxford Instrument Co Ltd., Oxford OX2 0DX, England  
Oxford Instruments - World leaders in cryomagnetic systems - firemní literat.

**6. SEZNAM PŘÍLOH**

- 1) Výkresy      0-DP-349/80-00-00, list 1/8  
                  0-DP-349/80-00-00, list 2/8
- 2) Kusevníky     0-DP-349/80-00-00, list 3/8, 4/8, 5/8,  
                  6/8, 7/8, 8/8.

52260

2/2/81

LIBERED

KYOSAI  
MAGNETIC  
SEPARATOR

卷之三

VSET  
LIBEREC

# KRYOSTAT MA-NETU SEPARATORU

1	2	3	4	5	6	7	8	9	10
1	heliová nádoba	svařenec							1
	aktivní uhlí		superserbon						2
6	čep ø 22 - 100	ČSN 42 5516	17246.1		026				3
3	táhlo 320		sklolaminát						4
									X
1	dusíková nádoba	svařenec							5
1	deska s výstupky	svařenec							6
1	dno - plech 12	ČSN 42 7302	42 4432.9		318				7
									8
6	čep ø 17 - 100	ČSN 42 5516	17 246.1		026				9
3	táhlo 280		sklolaminát						10
									X
3	kotvení-plech 2,0	ČSN 42 8306	42 3004.11		312				11
3	pouzdro-plech 2,0	ČSN 42 8306	42 3004.11		312				12
3	zátka M30		sklolaminát						13
3	vložka ø 20 - 60	ČSN 42 7510	42 4432.0		318				14
									X
1	deska se stojanem	svařenec							15
									X
1	vnější nádoba	svařenec							16
1	příruba	svařenec							17
3	pedložka ø80-15	ČSN 42 5516	17 246.1		026				18
3	pedložka ø80-15	ČSN 42 5516	17 246.1		026				19

SLEZÁK

23.5. 1980

VŠST  
LIBEREC

# KRYOSTAT MAGNETU SEPARATORU

0-DP-349/80-00-00 3/8

VŠST  
LIBEREC

# KRYOSTAT MAGNETU SEPARATORU

0-DP-349/80-00-00 4/8

1	2	3	4	5	6	7	8	9	10
1	trubka s přírubou	svařenec							40
2	zaslepovací příruba Ø 110-15	ČSN 42 5516	17 246.1		026				41
1	těleso Ø 220-60		textit						42
2	příruba Ø 80 - 40		textit						43
2	přítlačný kroužek Ø 45 - 25	ČSN 42 8511	42 3223.01		365				44
2	těleso hlavice Ø 40 - 130	ČSN 42 5516	17 246.1		026				45
1	trubka 25 x 0,5 - 620	ČSN 42 5750	17 246.1		026				46
1	trubka 25 x 0,5 - 800	ČSN 42 5750	17 246.1		026				47
2	přítlačný kroužek Ø 35 - 15	ČSN 42 8511	42 3223.01		365				48
2	matice s kolíky	svařenec							49
2	zátka Ø 30 - 60	ČSN 42 5516	17 246.4	17 246.1	026				50
3	trubka s přírubou	svařenec							51
6	zaslepovací příruba Ø 80 - 15	ČSN 42 5516	17 246.1		026				52
1	dolévací system	svařenec							54
1	prevlečná matice Ø 50 - 40	ČSN 42 5516	17 246.1		026				55
1	přítlačný kroužek Ø 30 - 12	ČSN 42 8511	42 3223.01		365				56
1	zátka Ø 30 - 60	ČSN 42 5516	17 246.4	17 246.1	026				57
24	šroub M16 - 90 6HR 24 - 110	ČSN 42 5530	17 246.1		026				58
24	matice M16 6HR 24 - 15	ČSN 42 5530	17 246.1		026				59

SLEZAK

23.5.1980

VŠST  
LIBEREC

# KRYOSTAT MAGNETU SEPARÁTORU

O-DP-349/80-00-00 5/8

VŠST  
LIBEREC

# KRYOSTAT MAGNETU SEPARATORU

O-DP-349/80-00-00 6/8

1	2	3	4	5	6	7	8	9	10
12	svorník M6 ø 8 - 70	ČSN 42 5516	17 246.4	17 246.1	026				82
									83
									84
8	šroub M8 - 35 ø 15 - 45	ČSN 42 5516	17 246.4	17 246.1	026				85
36	šroub M 8 - 40 GHR 13 - 50	ČSN 42 5530	17 246.4	17 246.1	026				86
									87
									88
									X
23	šroub M 8 - 35	ČSN 02 1151.80							89
21	šroub M16 - 35	ČSN 02 1151.80							90
21	šroub M20 - 30	ČSN 02 1303.80							91
21	podložka 21	ČSN 02 1702.80							92
6	šroub M10 - 15	ČSN 02 1303.80							93
6	podložka 10,5	ČSN 02 1702.80							94
1	kroužek 1600x10	ČSN 02 9281.1							95
1	kroužek 1150x10	ČSN 02 9281.1							96
1	kroužek 1050x10	ČSN 02 9281.1							97
1	kroužek 1850x10	ČSN 02 9281.1							98
6	kroužek 300x 5	ČSN 02 9281.1							99
9	kroužek 40 x 3	ČSN 02 9281.1							100
9	kroužek 34 x 3	ČSN 02 9281.1							101
1	kroužek 220x 5	ČSN 02 9281.1							102

